ATTIVITÀ SF/10/19- CUP J91B20000980006

Area Operativa Nord – Nuovo Ospedale di Carpi Accordo di Programma per il settore degli investimenti sanitari, ai sensi dell'art.20, L. n. 67/88 – VI fase – DGR 127/2023 Intervento APE 09. REALIZZAZIONE DEL NUOVO OSPEDALE DI CARPI

ACCORDO OPERATIVO 1.09 - RELAZIONE SUL BILANCIO EMISSIVO

Modena li ottobre 2025

Il progettista – responsabile del progetto Arch. Giulia Pentella SUMs architects STP soc. coop.

Timbro professionale e firma

INDICE

1 F	PREMESSA	3
	CALCOLO DELLE EMISSIONI DI CO2	
2.1	COMPONENTE TERMICA ED ELETTRICA	4
2.2	COMPONENTE RIFIUTI	12
2.3	COMPONENTE TRAFFICO INDOTTO	14
2.4	PERDITA ASSORBIMENTO CO2 DOVUTA A IMPERMEABILIZZAZIO	NE DEI
	SUOLI (SOIL SEALING)	17
	PIANTUMAZIONI	
	BILANCIO FINALE E CONCLUSIONI	
	ALLEGATO A – FOGLIO DI CALCOLO REBUS	
	ALLEGATO B – SCHEDE DA CATALOGO "ALBERI PER LA CITTÀ"	
	ALLEGATO C – SIMULAZIONI MODELLO "VIVAM"	

Autore Attività Gara Esecuzione pag. **2** di 28 del file

1 PREMESSA

La presente relazione si inserisce nel quadro normativo definito dal Piano Urbanistico Generale (PUG) del Comune di Carpi e dal Regolamento Edilizio (RE) che stabiliscono l'obbligo di redazione di un bilancio emissivo per gli interventi di trasformazione complessa ricadenti nell'ambito di Accordi Operativi (AO) o Piani Attuativi di Iniziativa Pubblica (PAIP).

Tali strumenti pianificatori, in linea con le direttive europee e nazionali in materia di neutralità climatica, promuovono la realizzazione di edifici a energia tendente allo zero, caratterizzati da alte prestazioni energetiche, bassi fabbisogni coperti da fonti rinnovabili e da un sistema di compensazione delle emissioni residue di CO₂ attraverso misure ambientali quali la piantumazione di biomassa arborea o altre forme di stoccaggio.

Il **Regolamento Edilizio**, all'art. 29.4, stabilisce che la valutazione delle emissioni di CO₂ debba tenere conto, come minimo, delle seguenti componenti: termica, elettrica, traffico indotto e rifiuti prodotti (limitatamente alla quota indifferenziata). Il bilancio risultante da tale analisi deve essere illustrato con apposita relazione allegata alla documentazione progettuale, come richiesto dall'art. 3.3.7 del PUG.

Tuttavia, ai sensi dell'art. 4.1, comma 5, del PUG, nel caso di realizzazione di un'opera pubblica "i parametri edilizi fanno riferimento ai requisiti prestazionali e di qualità secondo la specifica normativa tecnica e/o piani di settore". Pertanto, le disposizioni degli articoli 3.3.5 (Riduzione dell'Impatto Edilizio - RIE), 3.3.6 (dotazioni di alberi e arbusti) e 3.3.7 (bilancio emissivo zero) del PUG risultano sostituite dalla normativa tecnica di settore applicabile alle opere pubbliche.

Si sottolinea che la riduzione delle emissioni climalteranti, in particolare della CO₂, non solo costituisce un principio insito nella normativa tecnica per la progettazione delle opere pubbliche, ma rappresenta anche un elemento da considerare e da mitigare nell'ambito delle valutazioni di sostenibilità ambientale e territoriale (VALSAT) previste per i principali interventi di trasformazione urbanistica, soprattutto quando comportano consumo di suolo.

In tal senso, viene comunque redatto il bilancio emissivo dell'intervento per quantificare le emissioni di gas climalteranti e valutare l'efficacia delle misure di mitigazione previste a progetto, senza necessità però di perseguire il bilancio nullo.

In assenza di un metodo univoco e vincolante, il Comune consente l'utilizzo di metodologie e strumenti diversificati, purché documentati, verificabili e coerenti con quanto previsto dal quadro di riferimento normativo e tecnico (es. metodologia Carbon Zero del Comune di Reggio Emilia, progetto REBUS della Regione Emilia-Romagna, Linee guida operative della Regione Toscana, applicativi I-Tree, progetto Qualiviva del MASAF, ecc.).

Nel caso specifico, ai fini della presente valutazione, si è fatto ricorso a un bilancio analitico delle emissioni climalteranti, elaborato sulla base di dati convalidati e fonti autorevoli per ciascuna componente emissiva:

- Componente termica ed elettrica: dati tratti dalla VALSAT (Rapporto Ambientale) allegata al progetto preliminare che costituisce base dell'Accordo Operativo di riferimento;
- Componente rifiuti: stima della CO₂ derivante dalla quota parte di rifiuti indifferenziati, calcolata sulla base di parametri standard forniti da ISPRA e ENEA;

Autore Attività Gara Esecuzione pag. **3** di 28 del file

- Componente traffico indotto: dati tratti dalla relazione sull'impatto sulla rete viaria sviluppata nell'ambito del presente Accordo Operativo e da strumenti convalidati ISPRA;
- Componente Soil Sealing: componente relativa alla riduzione di perdita assorbimento CO₂ dovuta a impermeabilizzazione dei suoli.

Si è deciso di non adottare la metodologia "Carbon Zero" in quanto non restituisce una stima analitica separata per traffico e rifiuti, oltre al fatto che non risulta adatta alla morfologia complessa dell'edificio, articolato in volumi con altezze e piani differenti. Inoltre, il calcolatore si basa su riferimenti normativi in parte superati (es. D.Lgs. 28/2011 sull'obbligo di copertura FER) e non consente una sufficiente personalizzazione dei parametri, rendendo impossibile allineare i valori emissivi della componente termica-elettrica a quelli già validati nella Valsat del progetto preliminare.

Alla stima delle emissioni nette derivanti da tali fonti è seguita la definizione delle relative misure compensative. In particolare, oltre agli interventi di efficienza energetica e mitigazione già inclusi nel progetto, sono state individuate e quantificate specifiche misure aggiuntive di compensazione tramite piantumazioni arboree, con il supporto dei fogli di calcolo del progetto **REBUS** della Regione Emilia-Romagna, che consentono la stima dello stoccaggio di CO₂ garantito dalle essenze arboree selezionate in funzione delle loro caratteristiche eco-funzionali. Le essenze selezionate sono state individuate tra quelle autoctone o adattive con elevate capacità di sequestro di CO₂, oltre che in grado di contribuire alla riduzione degli inquinanti atmosferici. Le aree di messa a dimora sono state scelte con criteri di funzionalità ecologica e paesaggistica, in coerenza con la localizzazione e le esigenze di fruibilità del nuovo complesso ospedaliero.

L'approccio metodologico adottato mira dunque a fornire una valutazione trasparente, verificabile e coerente con gli obiettivi di sostenibilità promossi dal PUG di Carpi, contribuendo alla realizzazione di un ambiente urbano più resiliente e responsabile dal punto di vista climatico.

2 CALCOLO DELLE EMISSIONI DI CO2

2.1 Componente termica ed elettrica

Per la stima delle emissioni climalteranti connesse al funzionamento del nuovo edificio ospedaliero, sono stati presi in considerazione dapprima i consumi energetici annui relativi agli usi termici ed elettrici. I dati utilizzati per questa valutazione derivano dalla **VALSAT** (elaborato all D_RA_VALSAT) **del progetto di fattibilità tecnica ed economica precedentemente approvato**, che rappresenta il documento di riferimento per la definizione dei principali parametri energetici e ambientali dell'edificio.

È opportuno evidenziare che l'Accordo Operativo, a cui la presente analisi fa riferimento, non ha apportato modifiche al PFTE per quanto riguarda gli aspetti progettuali legati all'immobile. Infatti, l'Accordo si è concentrato unicamente su interventi di carattere esterno e urbanistico, senza incidere sulle caratteristiche tecniche e prestazionali dell'edificio stesso già definite nel progetto di fattibilità. Di conseguenza, le valutazioni riportate per la componente energetica e le relative emissioni climalteranti fanno riferimento alle ipotesi progettuali e ai dati già sviluppati nella fase di PFTE.

Si riporta nel riquadro di seguito l'estratto **della VALSAT di PFTE** (elaborato all D_RA_VALSAT) relativo alla quantificazione della **componente termica ed elettrica** dell'edificio di progetto, con un confronto diretto rispetto ai consumi registrati presso l'attuale Ospedale Ramazzini di Carpi. In chiusura del capitolo, la stima della componente termica ed elettrica è stata **aggiornata** utilizzando

Autore Attività Gara Esecuzione pag. **4** di 28 del file

i **fattori di emissione più recenti** pubblicati da ISPRA nell'ultimo report 2024, al fine di garantire la massima attualità e attendibilità delle valutazioni.

Riquadro contenente estratto della VALSAT di PFTE (elaborato all D_RA_VALSAT) relativo alla quantificazione della componente termica ed elettrica dell'edificio di progetto

2.1.1 Lo stato della componente nello scenario attuale

Le emissioni climalteranti nello scenario attuale legate ai consumi energetici dell'attuale Ospedale Ramazzini di Carpi possono essere desunte a partire dai dati relativi ai consumi di energia elettrica e gas forniti dall'AUSL di Modena, utilizzando i fattori di emissione indicati nel Monitoraggio del PAES del Comune di Carpi.

Tab. 3.3.1.5 Consumi energetici per vettore anni 2019 e 2020 (fonte AUSL Modena)

Vettore/Anno	2019	2020	Media
GAS Metano (Smc)	802.681 mc	833.300	817.991
Energia ELETTRICA (kWhel)	7.156.000	7.298.644	7.227.322

Nella tabella successiva si riportano quindi i consumi per vettore energetico, il relativo fattore di emissione (FE) e la CO2 equivalente ad essi associata.

Tab. 3.3.1.6 Emissioni Climalteranti Ospedale "Ramazzini"

Vettore/Grandezza	Consumo annuo	FE (da PAES) tCO2-eq/MWhfuel	Emissioni tCO2-eq/anno
GAS Metano ⁴	817.991 Smc / 7.853 MWh _{th}	0,202	1.586
Energia ELETTRICA ⁵ 7.227 kWh _{el}		0,294	2.125
	3.711		

Sulla base dei consumi tipici di una struttura ospedaliera si stima la seguente ripartizione degli usi energetici.

Tab. 3.3.1.7 Ripartizione Consumi per tipologia di uso: Ospedale Ramazzini

USI Elettrici				
Illuminazione	30%	2.168.197		
UTA + Condizionamento	35%	2.529.563		
Ausiliari	10%	722.732		
Elettromedicali	15%	1.084.098		
Altro	10%	722.732		
Totale kWhel		7.227.322		
	USI Termici			
Riscaldamento	50%	408.995		
ACS + Sterilizzazione	50%	408.995		
Totale Smc		817.991		

Autore Attività Gara Esecuzione pag. **5** di 28 del file

vari SF/10/19

Per passare da Smc a MWh si è fatto riferimento alla relazione 1 m³ CH4 = 0,0096 MWh riportata nel Monitoraggio del PAES. Il fattore di emissione è desunto dal Piano di Monitoraggio del PAES di Carpi.

Il fattore di emissione considerato è quello utilizzato nel MEI di Carpi che tiene conto dell'energia elettrica locale calcolato utilizzando la formula indicata dalle Linee guida per la redazione del PAES.

Interferenze con la componente

Dal documento 1.17 - RELAZIONE SULLE MISURE DI EFFICIENZA ENERGETICA, DI PRODUZIONE DI ENERGIA DA FONTI AMBIENTALI del PFTE, si evince che la AUSL ha, rispetto a questo tema, degli obiettivi particolarmente ambiziosi: Obbiettivo della presente progettazione è la realizzazione di un edificio ad alta prestazione energetica. Al fine di perseguire tale risultato, il progetto impiantistico dovrà prevedere l'utilizzo di tecnologie innovative e green, da adottare al fine di ridurre i consumi/emissioni e massimizzare i rendimenti. A tale scopo dovrà essere applicato un modello di calcolo dinamico per valutare il comportamento dell'edificio su base oraria ed ottimizzare le scelte impiantistiche che poi saranno "valorizzate" nell'ambito del Protocollo di Sostenibilità del Costruito (LEED, Breeam o equivalente).

Innanzitutto si ricorda che la progettazione energetica del Nuovo Ospedale dovrà risultare conforme alle prescrizioni di legge attualmente vigenti (al momento DGR 967/2015 e ss. mm. ii.) e quindi:

- Tutte le nuove realizzazioni private a partire dal 1° gennaio 2019 e gli interventi a queste assimilabili dovranno essere NZEB (edifici ad energia quasi zero);
- I consumi per climatizzazione invernale ed estiva nonché per produzione di ACS, devono essere coperti al 50% da FER a partire dal 1° gennaio 2019 (per la sola ACS il livello di copertura da FER deve essere comunque pari al 50%); valori incrementati del 10% per gli edifici pubblici (come nel caso in esame per cui le percentuali di copertura passano da 50% al 55%);

Sempre in tema di rinnovabili oltre al grado di copertura in termini percentuali del fabbisogno energetico di energia primaria, in applicazione del Dlgs 28/2011, deve essere anche garantita l'installazione di impianti fotovoltaici la cui potenza di picco sia determinata in base al maggiore dei valori come di seguito determinati:

- Potenza di picco pari a 0,5 kWp per ogni 100 mq di Su;
- Potenza di picco pari a Sq/50 (con Sq = superficie di copertura degli edifici in progetto);

Nel caso in cui vi siano impedimenti nella realizzazione di impianti aventi la potenza richiesta dalle normative vigenti, è possibile derogare dall'installazione di impianti fotovoltaici, mediante la realizzazione di impianti di cogenerazione di equivalente potenza o l'allaccio a reti di teleriscaldamento alimentate però da sistemi cogenerativi ad alto rendimento.

Sulla base di quanto sopra riportato, il nuovo Ospedale, avrà le sequenti caratteristiche:

• In merito all'involucro edilizio, le trasmittanze di progetto risulteranno essere decisamente inferiori a quelle dell'edificio esistente (sino a da 5 a 10 volte);

Tab. 3.3.2.1 CARATTERISTICHE ENERGETICHE DEGLI EDIFICI (Trasmittanza Termica U -Riferimenti legislativi vigenti, Nuova Scuola, Scuola Esistente)

	U pareti	U basamento	U copertura	U infissi
	W/m2K	W/m2K	W/m2K	W/m2K
DGR 967/2015 e ss.mm.ii. Nuova Costruzione	0,26	0,22	0,26	1,40

Attività Gara Esecuzione pag. 6 di 28 del file Autore

Sulla base di quanto sopra detto nel documento sopra citato del PFTE si effettua un confronto tra il fabbisogno energetico dell'involucro della nuova struttura (secondo due diverse ipotesi descritte in tabella sotto riportata) e quello dell'attuale struttura ospedaliera.

Tab. 3.3.2.2 CARATTERISTICHE ENERGETICHE DEGLI EDIFICI Prestazione Energetica involucro: progetto e edificio esistente

Analisi 1	Analisi 2	Analisi 3
Nuovo ospedale Prestazione Energetica dell'involucro con trasmittanza pari ai limiti imposti dalla normativa	dell'involucro con trasmittanza	
4,4 kWh/m³anno	3,3 kWh/m³anno	20 kWh/m³anno

Sulla base delle valutazioni sopra esposte è ipotizzabile che il fabbisogno di energia termica per il nuovo edificio si riduca a circa un quarto di quello attuale.

 La necessità di dover garantire elevati livelli di copertura del fabbisogno di energia primaria (pari ad almeno il 55% di quelli previsti per la climatizzazione e per ACS) richiede necessariamente che gli impianti utilizzati debbano essere particolarmente performanti e capaci di utilizzare energia rinnovabile o a questa assimilabile.

Per queste ragioni oltre ad una centrale termica dotata di caldaie a condensazione, e ad una centrale frigorifera (impianti questi presenti anche nell'attuale ospedale), la progettazione prevede la realizzazione di una centrale di trigenerazione. Tale impianto consentirà la produzione congiunta di energia elettrica e calore utile a partire dalla stessa fonte primaria. A completamento di tale processo, la realizzazione di sistemi di assorbimento dedicati, consentiranno di recuperare, nel periodo estivo, l'energia termica altrimenti dispersa, al fine di raffreddare l'acqua dedicata agli impianti di climatizzazione.

Si precisa che, al di là dell'impostazione sopra descritta, in fase di progettazione si dovrà comunque verificare quanto indicato nei Criteri Ambientali Minimi ed in particolare quelli di cui al DM 11 Ottobre 2017 Affidamento di servizi di progettazione e lavori per la nuova costruzione, ristrutturazione e manutenzione di edifici pubblici (ora in fase di revisione).

• Infine, riguardo alla presenza di impianti fotovoltaici (o impianti equivalenti in potenza di cogenerazione ad altro rendimento), nella tabella seguente si riporta stima impianto effettuata sulla base della Superficie Utile prevista dalla nuova struttura (Su = 56.800mq) e dalla Superficie coperta dedotta dal progetto presentato dalla AUSL a giugno2021 (Sq = 30.000 mq).

Tab. 3.3.2.3 CARATTERISTICHE ENERGETICHE DEGLI EDIFICI (Trasmittanza Termica U - Riferimenti legislativi vigenti, Nuova Scuola, Scuola Esistente)

	Su/Sq mq	PFV in kWp
P _{FV} = (0,5 Su)/100	56.800	284
P _{FV} = (Sq/50)	30.000	600

Sulla base dei calcoli sopra indicati si presume che nella realizzazione del nuovo nosocomio, si debba prevedere un impianto fotovoltaico avente potenza di picco pari a 600 kWp o che tale debba essere la potenza minima richiesta a un microcogeneratore alternativo al sistema fotovoltaico.

Autore Attività Gara Esecuzione pag. **7** di 28 del file vari SF/10/19

Cautelativamente si ipotizza siano presenti entrambi i sistemi in quanto la trigenerazione non potrà essere dimensionata sulla base dell'inseguimento elettrico. Infatti, seppure economicamente conveniente, rischia di essere peggiorativa in termini di bilancio emissivo e di efficienza energetica.

Si ipotizza invece che il solare termico per la produzione di ACS sia ridondante rispetto alla presenza della cogenerazione e delle centrali termiche (cui è demandata anche la produzione di ACS).

Si fa presente che l'attuale tecnologia consente di ridurre l'occupazione di 1 kWp a 8-10 m2 di superficie coperta e che quindi il coperto della nuova struttura (pari a circa 30.000 mq) anche se ovviamente non tutto disponibile, possa ospitare i previsti 600 kWp.

Sulla base delle ipotesi sopra assunte si effettua quindi una prima stima dei consumi per vettore energetico e delle emissioni climalteranti legate alla realizzazione del nuovo ospedale, assumendo che trattandosi di una nuova costruzione si possano, cautelativamente, ottenere i seguenti miglioramenti rispetto agli usi energetici evidenziati nella tabella relativa allo stato attuale.

Tab. 3.3.2.4 Miglioramento prestazioni per tipologia uso Nuovo Ospedale

Uso energetico	% miglioramento
Illuminazione	- 50%
UTA + Condizionamento	- 20%
Ausiliari	- 5%
Elettromedicali	- 5%
Altri usi elettrici	- 5%
Riscaldamento	- 75%
ACS + Sterilizzazione	- 10%

In base alle ipotesi di riduzione sopra assunte si ricava che il fabbisogno di energia elettrica del Nuovo Ospedale si riduce a 5.510.833 kWhel.

Per il consumo di Gas metano (che oltre ai consumi per Riscaldamento comprende anche quelli relativi a ACS+Sterilizzazione), ipotizzando che il previsto impianto di cogenerazione contribuisca al fabbisogno sia per Climatizzazione invernale che per la produzione in parte di ACS e che le caldaie diano contributo sempre alla produzione di ACS e per la sterilizzazione, si ipotizza che i consumi nello scenario futuro di GAS metano siano pari a circa il 75% di quelli dell'attuale ospedale (ovvero 572.593 Smc), impiegati per circa il 65% dall'impianto di cogenerazione e per il restante 35% dalle caldaie.

Tab. 3.3.2.5 Consumi Gas Metano Scenario futuro (in Smc)

Caldaie Smc	200.408
Cogenerazione Smc	372.186
Totale Smc	572.593

Ipotizzando che i rendimenti dell'impianto di cogenerazione siano pari rispettivamente al 40% per quanto attiene la produzione elettrica e il 45% relativamente a quella termica (valori standard) risulta che l'energia elettrica prodotta dall'impianto e autoconsumata ammonta a 1.429.193 kWhel.

Tab. 3.3.2.6 Energia Elettrica prodotta da impianto di Cogenerazione – Nuovo Ospedale

Consumo Gas Smc	kWh GAS	Rendimento elettrico COG	E.E. in kWhel
372.186	3.572.983	40%	1.429.193

Autore Attività Gara Esecuzione pag. **8** di 28 del file

A questa occorrerebbe aggiungere l'energia prodotta dall'impianto fotovoltaico FV avente potenza di picco pari a 600 kWp. La stima di quando prodotto e anch'esso autoconsumato in situ, può essere effettuata utilizzando il fattore di producibilità media per kWp riportato nel Monitoraggio del PAES, pari a 1.040 kWhel/kWp. Si ritiene tale valore cautelativo considerando che, trattandosi di un edificio di nuova realizzazione, l'orientamento dei pannelli è meno vincolato rispetto ad un edificio esistente. Si ricava quindi che l'energia elettrica prodotta dal nuovo impianto FV installato sull'ospedale ammonta a 624.000 kWhel.

Tab. 3.3.2.7 Energia Elettrica prodotta da impianto FV - Nuovo Ospedale

Potenza impianto FV in kWp	Producibilità specifica kWhel/kWp	E.E. in kWhel
600	1.040	624.000

Dal fabbisogno di Energia Elettrica complessiva del nuovo Ospedale si dovrà quindi detrarre quella autoprodotta e autoconsumata in situ così da determinare quella richiesta alla rete.

Tab. 3.3.2.8 Energia elettrica richiesta alla rete in kWhel Nuovo Ospedale

Fabbisogno E.E. in kWhel	5.510.833
E.E. Cogeneratore in kWhel	- 1.429.193
E.E. impianto FV	- 624.000
E. E. richiesta alla rete	3.457.640

È quindi possibile stimare il bilancio emissivo del Nuovo Ospedale come evidenziato nella tabella seguente.

Tab. 3.3.2.9 Emissioni Climalteranti Nuovo Nosocomio

Vettore/Grandezza	Consumo annuo	FE (da PAES)	Emissioni
vettore/ Grandezza	Consumo annuo	tCO2-eq/MWhfuel	tCO2-eq/anno
	572.593 Smc / 5.496.896		1.110
GAS Metano	MWh _{th}	0,202	
Energia ELETTRICA	3.457.640 kWh _{el}	0,294	1.017
	2.127		

Rispetto allo scenario attuale (ospedale esistente) si ha quindi una riduzione delle emissioni climalteranti pari di **– 1.584 tCO2eq** (pari a **-43%**).

Un contributo ulteriore all'abbattimento delle emissioni residue (oltreché alla riduzione dell'inquinamento) può essere dato dalla piantumazione di adeguate specie arboree e arbustive, specificatamente selezionate in base all'assorbimento di specifici inquinanti, all'assimilazione e stoccaggio della CO2, la riduzione del run-off, in aree idonee e funzionali rispetto alla collocazione del nuovo ospedale.

Riquadro contenente estratto della VALSAT di PFTE (elaborato all D_RA_VALSAT) relativo alla quantificazione della componente termica ed elettrica dell'edificio di progetto

2.1.3 Revisione della componente emissiva con fattori aggiornati

Nella sezione precedente, la stima delle emissioni climalteranti associate al funzionamento dell'edificio è stata effettuata utilizzando i fattori di emissione riportati nel Piano d'Azione per l'Energia Sostenibile (PAES) del Comune di Carpi, redatto nel 2014. Sebbene tali valori abbiano costituito un utile riferimento per valutazioni preliminari, si evidenzia come, a distanza di oltre un

Autore Attività Gara Esecuzione pag. 9 di 28 del file

IL PRESENTE ELABORATO È DI PROPRIETÀ DELL'AUSL DI MODENA E NON PUÒ ESSERE RIPRODOTTO NEPPURE PARZIALMENTE SENZA AUTORIZZAZIONE

decennio, non siano più adeguati a una corretta quantificazione delle emissioni nel contesto attuale, in quanto non riflettono l'evoluzione del mix energetico nazionale e i recenti progressi nella decarbonizzazione del sistema elettrico.

Per questo motivo, si procede in questa sezione ad aggiornare il calcolo delle emissioni utilizzando fattori più recenti e consolidati, riferiti alle fonti istituzionali attualmente disponibili.

Il fattore di emissione del **gas naturale** viene aggiornato in base ai valori di riferimento riportati nel **Rapporto ISPRA 413/2025** "Le emissioni di CO₂ nel settore elettrico nazionale e regionale", che riprende i dati dell'**Inventario Nazionale delle Emissioni in Atmosfera (NIR)**. Per il gas naturale, il valore aggiornato di riferimento è calcolato considerando un contenuto di carbonio relativo al **2023** pari a **59,182 tCO₂/TJ**, come riportato nella tabella a seguire.

Fattori di emissione per contenuto di energia primaria dei combustibili utilizzati nel settore elettrico

Combustibile	U.M.	Anno	t CO₂/TJ	t CO ₂ /U.M.	t CO₂/tep
		2020	57.910	1.986	2.425
Gas naturale (pci 8190 kcal/m³)	10 ³ Sm ³	2021	58.504	2.006	2.449
Gas naturale (pci 6190 kcai/m²)	10- 5111-	2022	58.918	2.020	2.467
		2023	59.182	2.029	2.478
		2020	76.497	3.143	3.203
Olio combustibile		2021	76.501	3.143	3.203
Ollo combustibile	t	2022	76.609	3.144	3.207
		2023	76.427	3.136	3.200
		2020	94.013	2.356	3.936
		2021	93.078	2.334	3.897
Carbone da vapore	t	2022	93.233	2.310	3.903
		2023	93.395	2.302	3.910
		2020	56.146	2.639	2.351
Condine#inoria		2021	56.014	2.649	2.345
Gas di raffineria	t	2022	56.531	2.665	2.367
	,	2023	56.497	2.666	2.365
		2020	45.854	0.844	1.920
Can di calcaria	103.5 3	2021	45.490	0.830	1.905
Gas di cokeria	10 ³ Sm ³	2022	44.925	0.805	1.881
		2023	44.857	0.756	1.878
		2020	251.043	0.883	10.511
Gas di altoforno	10 ³ Sm ³	2021	247.920	0.918	10.380
das di altoiomo	10 3111	2022	250.750	0.911	10.498
		2023	254.347	0.897	10.649
		2020	195.877	1.353	8.201
Gas di acciaieria	10 ³ Sm ³	2021	192.710	1.397	8.068
Gas di accialeria	10" 3111"	2022	191.486	1.414	8.017
		2023	199.069	1.354	8.335
		2020	80.211	3.124	3.358
Idrocarburi pesanti per	t	2021	79.606	3.100	3.333
gassificazione		2022	80.480	3.134	3.370
		2023	80.611	3.139	3.375
		2020	102.912	0.870	4.309
Gas di sintesi		2021	97.899	1.196	4.099
das ui silitesi	t	2022	99.071	0.926	4.148
		2023	97.875	0.864	4.098

Autore Attività Gara Esecuzione pag. **10** di 28 del file

Per esprimere il fattore in tCO₂eq per megawattora termico (MWh_th), è necessario convertire i terajoule (TJ) in megawattora (MWh):

- 1 TJ = 10¹² joule
- 1 MWh = 3,6×10° joule (dato che 1 Wh = 3.600 joule)

Quindi:

$$1 TJ = \frac{10^{12} J}{3.6 \times 10^9 I/MWh} = 277,78 MWh$$

Il calcolo del fattore di emissione aggiornato è quindi:

Fattore di emissione =
$$\frac{59,182 \ tCO_2/TJ}{277,78 \ MWh} = \mathbf{0}, \mathbf{213} \ tCO_2/MWh_{th}$$

Analogamente, il fattore di emissione dell'energia elettrica viene aggiornato in base ai valori di riferimento riportati nel Rapporto ISPRA 413/2025 "Le emissioni di CO₂ nel settore elettrico nazionale e regionale", che riprende i dati dell'Inventario Nazionale delle Emissioni in Atmosfera (NIR). Per l'energia elettrica, il nuovo fattore emissivo nazionale medio è pari a 234,7 gCO₂/MJ considerando il mix energetico nazionale aggiornato al 2023.

Fattori di emissione nel settore elettrico (g CO₂/kWh)

					•			
Anno	Produzione termoelettrica lorda (solo fossili)	Produzione termoelettrica lorda ¹				Produzione termoelettrica lorda e calore ^{1,5}		Produzione di calore ⁵
2022	477.4	435.1	307.3	293.0	265.4	388.3	293.4	223.8
2023	460.2	414.9	256.3	234.7	213.3	369.6	251.3	225.1
2024*	422.4	382.2	215.9	198.9	180.6	344.2	217.7	227.4

¹ Inclusa elettricità da bioenergia.

Il fattore in tCO₂eq per megawattora elettrico (MWh el) è quindi definito come di seguito:

Fattore di emissione =
$$234.7gCO_2/kWh \times 1000kWh/MWh = 0.235 tCO_2eq/MWh_{el}$$

Il valore aggiornato di **0,235 tCO₂eq/MWh_{el}** rappresenta le emissioni di CO₂ associate al consumo di 1 MWh di energia elettrica, calcolato sulla base del mix di produzione nazionale aggiornato al 2023. Questo dato tiene conto delle fonti rinnovabili, delle importazioni di energia e delle perdite di rete, ed è più rappresentativo del contesto attuale rispetto al valore precedentemente utilizzato nel PAES. È quindi possibile aggiornare il bilancio emissivo come evidenziato nella tabella seguente.

Emissioni Climalteranti Nuovo Nosocomio

Vettore/Grandezza	Consumo annuo	FE tCO ₂ -eq/MWhfuel	Emissioni tCO ₂ -eq/anno
GAS Metano	572.593 Smc / 5.496,896 MWh _{th}	0,213	1170,84
Energia ELETTRICA	3.457,640 kWh _{el}	0,235	812,55
	1983,39		

L'aggiornamento della componente termica ed elettrica con i fattori di emissione più recenti ha determinato una variazione nei singoli contributi: la componente termica (gas naturale) registra un

Autore Attività Gara Esecuzione pag. **11** di 28 del file vari SF/10/19

² Incluse rinnovabili, al netto di apporti da pompaggio e da accumulo stand alone.

³ Incluse le perdite di rete e la quota importata.

⁴ Fattore di emissione della produzione elettrica per la quota di perdite di energia elettrica prodotta.

⁵ Incluse le emissioni di CO₂ per la produzione di calore.

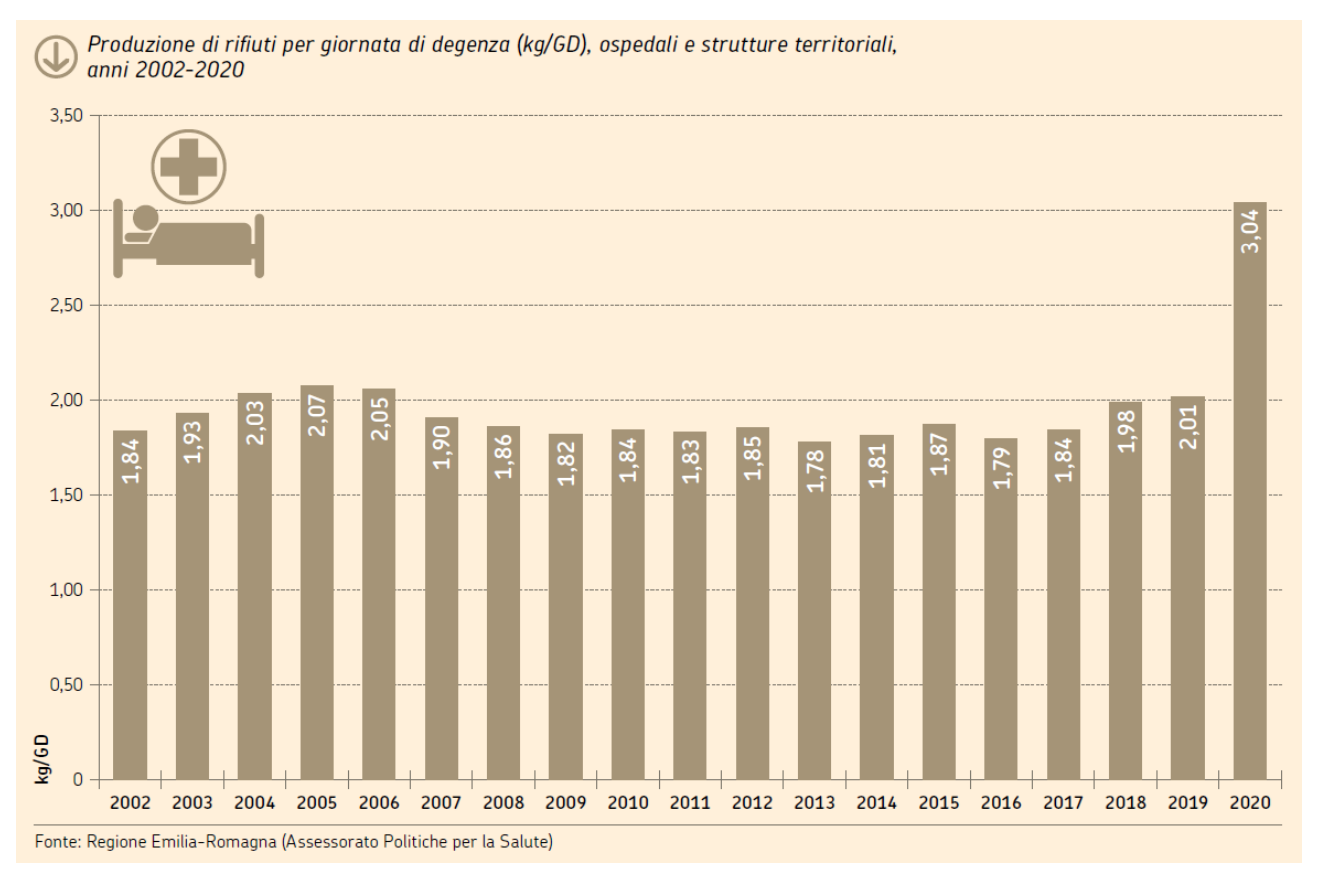
^{*} Dati preliminari.

lieve incremento delle emissioni da 1.110 tCO₂eq a 1.171 tCO₂eq, mentre la componente elettrica mostra una significativa riduzione da 1.017 tCO₂eq a 813 tCO₂eq. Complessivamente, l'aggiornamento riflette il progressivo miglioramento del mix energetico nazionale e fornisce una stima più aderente allo scenario attuale. Rispetto allo scenario attuale (ospedale Ramazzini) si ha quindi una riduzione delle emissioni climalteranti di – 1.727,61 tCO₂eq (pari a -46,5%).

2.2 Componente rifiuti

La valutazione delle emissioni climalteranti generate dall'intervento in oggetto include, tra le diverse componenti previste, anche quella relativa alla produzione e gestione dei rifiuti. In particolare, viene considerata la quota parte dei rifiuti solidi urbani non pericolosi prodotti dalla struttura ospedaliera, per i quali è previsto l'incenerimento come principale modalità di smaltimento.

Sulla base del numero di posti letto previsto per il nuovo edificio ospedaliero (n. 298), e considerando una produzione media di rifiuti pari a **1,89 kg per giornata di degenza**, si è stimata una produzione annua complessiva pari a circa **206.059 kg di rifiuti**. Il valore medio utilizzato per il calcolo deriva dall'analisi dei dati storici contenuti nel *Report Rifiuti* di ARPAE, riferiti al periodo **2002–2019**, relativi alle strutture sanitarie della Regione Emilia-Romagna. Di seguito si riporta la tabella estratta dal suddetto report ARPAE, a supporto del dato medio adottato.



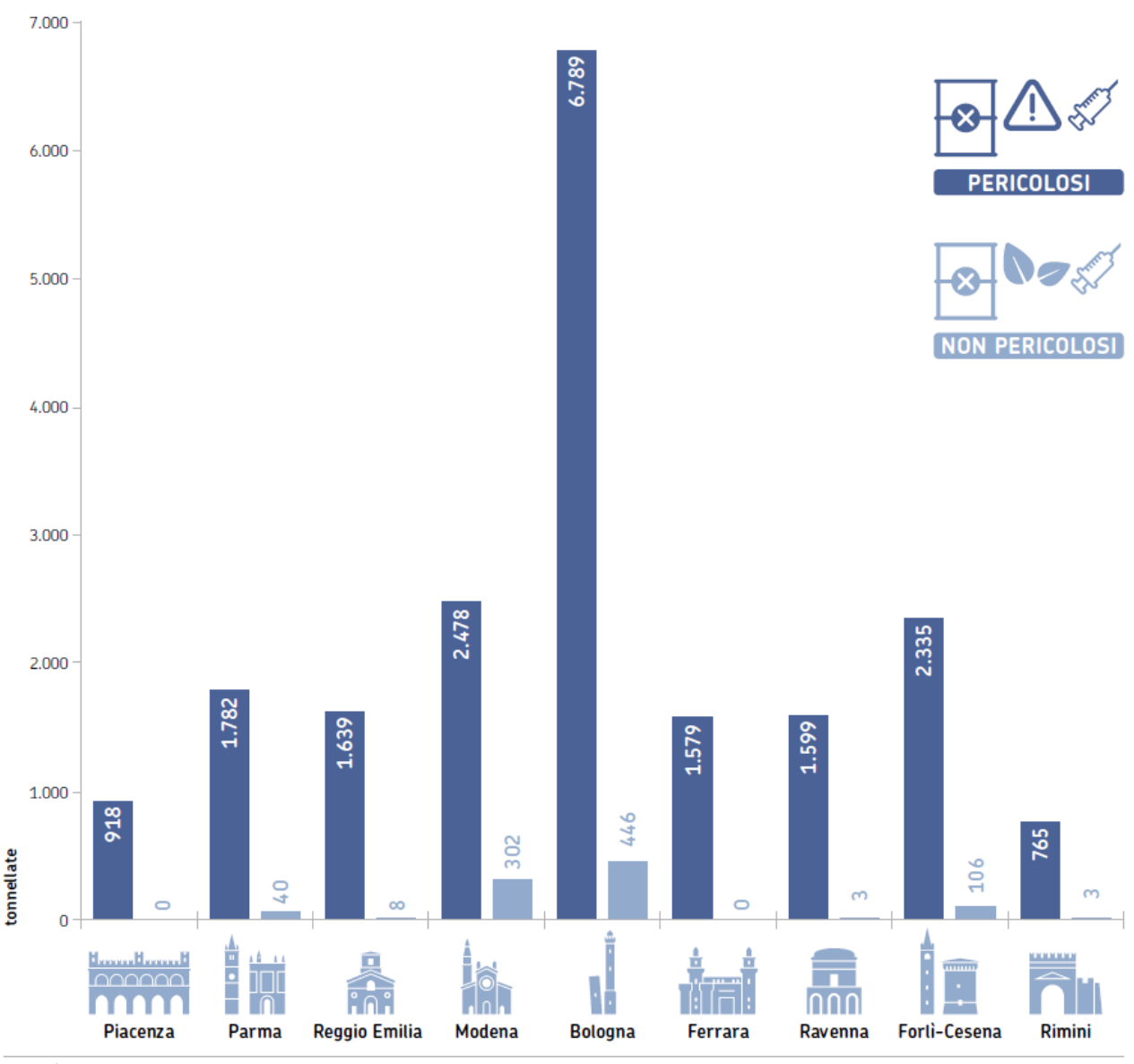
A fini metodologici, si è scelto di escludere l'anno **2020** dal calcolo della media, in quanto caratterizzato da dati anomali dovuti all'emergenza sanitaria da Covid-19, che ha alterato significativamente i flussi ordinari di produzione e gestione dei rifiuti in ambito ospedaliero.

Secondo quanto riportato nel Rapporto Rifiuti 2024 redatto da ARPAE Emilia-Romagna, che analizza in dettaglio la produzione e la gestione dei rifiuti nelle strutture sanitarie della regione, è possibile stimare che una quota pari all'11% del totale dei rifiuti prodotti da un ospedale della

Autore Attività Gara Esecuzione pag. **12** di 28 del file vari SF/10/19

provincia di Modena sia costituita da **rifiuti non pericolosi**. Si riporta di seguito la tabella riepilogativa. Tale categoria include tipologie di scarti che, pur generati in ambiente sanitario, non presentano caratteristiche di pericolosità tali da richiedere un trattamento speciale, e risultano quindi **potenzialmente assimilabili ai rifiuti solidi urbani**, destinabili a incenerimento. Applicando tale percentuale al valore stimato della **produzione complessiva annua di rifiuti** per la nuova struttura ospedaliera, si ottiene una **quantità annua di rifiuti non pericolosi pari a circa 22.666 kg**.

FIGURA 30 Produzione di rifiuti speciali sanitari per provincia, appartenenti alla categoria 18, suddivisa in pericolosi e non pericolosi, anno 2022



Fonte: dati MUD

Ai fini della valutazione delle emissioni di CO₂, si è adottato come riferimento il **fattore di emissione** per incenerimento dei rifiuti solidi urbani riportato nei dati tecnici pubblicati da ENEA, di cui si riporta la tabella di seguito, pari a **0,29 kg CO₂ per kg di rifiuto incenerito**. Applicando tale coefficiente alla massa stimata di rifiuti non pericolosi, si ottiene un valore di **6.573 kg di CO₂/anno**, equivalente a **6,573 tCO₂eq/anno**.

Autore Attività Gara Esecuzione pag. **13** di 28 del file vari SF/10/19

TIPOLOGIA DI SMALTIMENTO	CO ₂ (kg CO ₂ /kg rifiuto)	FONTE
Incenerimento Rifiuti Solidi Urbani	0,29	ENEA
Discarica	0,87	IPCC 2007, EPA 2008
Compostato	0,396	IPCC 2007, EPA 2009
Digestione Anaerobica	0,042	IPCC 2007, EPA 2010

Tale dato concorre al computo del bilancio emissivo complessivo del progetto, secondo quanto richiesto dalla normativa locale. È opportuno precisare che la stima esclude i rifiuti sanitari pericolosi, che rientrano in una filiera separata e specialistica di smaltimento, non direttamente riconducibile al modello standard di calcolo delle emissioni previsto per i rifiuti solidi urbani.

Il documento di riferimento, il Report Rifiuti di ARPAE, da cui è stato dedotto il valore complessivo di rifiuti prodotti per giornata di degenza, non specifica esplicitamente se tale dato comprenda:

- tutte le aree di produzione (reparti, uffici, magazzini, cucine, servizi amministrativi, ecc.);
- tutte le tipologie di rifiuti indifferenziati, inclusi quelli sanitari, quelli derivanti dalla pulizia delle aree interne ed esterne, nonché quelli assimilati agli urbani.

In assenza, in questa fase, di altri dati di riferimento, è opportuno considerarlo come un indicatore orientativo, riferito prevalentemente all'attività sanitaria e assistenziale, piuttosto che all'intero insieme delle attività aziendali. Le stime condotte sulle diverse componenti, pur essendo fondate e improntate a criteri di cautela, non costituiscono ancora una rappresentazione definitiva delle effettive prestazioni del futuro edificio ospedaliero, che potranno essere definite con maggiore precisione solo in fase di progettazione esecutiva.

2.3 Componente traffico indotto

Per stimare la componente di emissioni climalteranti derivanti dal traffico veicolare associato alla nuova struttura ospedaliera, è stato adottato un approccio multilivello, che integra dati ufficiali sulle emissioni (fonte ISPRA) e informazioni trasportistiche contenute nella documentazione progettuale (*Analisi dell'accessibilità* e studio impatto sulla rete stradale).

In una prima fase, sono stati analizzati i dati ISPRA relativi ai **fattori di emissione di CO**₂ **per km** percorso, distinti per tipologia di alimentazione (benzina, diesel, GPL, metano, ibrido, elettrico, ecc.) e mezzo di trasporto (autovetture, autobus, motocicli, veicoli pesanti). Si è fatto riferimento al **Documento tecnico ISPRA 2024** – "La sfida ambientale per la finanza sostenibile: metodologie, informazioni e indicatori ambientali". Il documento, elaborato da ISPRA con l'obiettivo di supportare la rendicontazione ambientale secondo i nuovi standard europei in materia di finanza sostenibile, fornisce un quadro metodologico aggiornato, corredato da un foglio di calcolo contenente i fattori medi nazionali derivati dall'**Inventario Nazionale delle Emissioni ISPRA**. A partire da questi valori, è stato calcolato per ciascuna categoria di veicolo prima e per ciascun mezzo di trasporto poi, un fattore di emissione medio pesato, ottenuto come media aritmetica o ponderata tra le diverse alimentazioni disponibili, tenendo conto della loro rappresentatività nel parco veicolare.

Autore Attività Gara Esecuzione pag. **14** di 28 del file

Mezzo di trasporto	Categoria	Alimentazione	CO ₂ 2021 [g/km]	Media per categoria CO ₂ 2021 [g/km]	Media per mezzo di trasporto CO ₂ 2021 [g/km]
	Passenger Cars	Petrol	161,29		
	Passenger Cars	Petrol Hybrid	136,66		
	Passenger Cars	Petrol PHEV	127,82		
	Passenger Cars	Diesel	166,85	143,48	
	Passenger Cars	Diesel PHEV	140,82	143,40	
Autoveicoli	Passenger Cars	LPG Bifuel	156,25		194,27
Autoveicon	Passenger Cars	CNG Bifuel	126,31		
	Passenger Cars	Battery electric	0,00		
	Light Commercial Vehicles	Petrol	246,89	045.00	
	Light Commercial Vehicles	Diesel	243,22	245,06	
Veicoli	Heavy Duty Trucks	Petrol	503,09	585,75	585,75
pesanti	Heavy Duty Trucks	Diesel	668,40	365,75	303,73
	Buses	Diesel	702,81		
Autobus	Buses	Diesel Hybrid	681,08	926.01	926.01
Autobus	Buses	CNG (categorie Copert da Euro I a EEV)	1096,83	826,91	826,91
Motocicli	Mopeds	Petrol	54,88	54,88	90.00
IVIOLOCICII	Motorcycles	Petrol	107,08	107,08	80,98

Nel caso specifico degli **autoveicoli**, si è applicata una correzione prospettica coerente con gli obiettivi europei e nazionali di decarbonizzazione della mobilità, assumendo che il **10% del parco circolante** in ingresso all'ospedale sarà costituito da **veicoli elettrici o ibridi plug-in**, caratterizzati da emissioni nulle o significativamente ridotte. Questo ha permesso di ottenere un coefficiente di emissione medio più realistico e aderente agli scenari evolutivi della mobilità sostenibile. Questa scelta è in linea con le previsioni di Motus-E e PwC Strategy&, che stimano l'elettrificazione progressiva del parco veicolare nazionale entro il 2030.

Successivamente, si è fatto riferimento ai dati riportati nello studio di impatto sulla rete stradale redatto nell'ambito dell'Accordo Operativo, dal quale emerge che il nuovo insediamento sanitario comporterà un flusso giornaliero stimato pari a **4.566 spostamenti/giorno.** Dall'analisi condotta, e sintetizzata nelle tabelle riportate di seguito, risulta che tale volume di traffico è così suddiviso in base alla tipologia di veicolo:

- 4.496 spostamenti/giorno attribuibili a veicoli leggeri, comprendenti autovetture, veicoli commerciali leggeri, mezzi di servizio e ambulanze;
- **70 spostamenti/giorno** effettuati da **veicoli pesanti**, destinati principalmente al trasporto merci e alla logistica ospedaliera.

Spostamenti veicolari totali in ingresso e uscita dall'area nei periodi della giornata

Veicoli	_			DIURNO		NOTTURNO		24 H		
	LEGGERI	PESANTI	LEGGERI	PESANTI	LEGGERI	PESANTI	LEGGERI	PESANTI	LEGGERI	PESANTI
Ingresso	523	4	127	-	2'228	35	20	-	2'248	35
Uscita	291	2	175	-	2'219	35	29	-	2'248	35
Totale	814	6	302	-	4'447	70	49	-	4'496	70

Autore Attività Gara Esecuzione pag. **15** di 28 del file vari SF/10/19

Spostamenti veicolari generati dall'attuazione dagli interventi previsti – Ingressi + Uscite

Flussi totali uscita	-	ORA DI PUNTA (mattina)		ORA DI PUNTA (sera)		RNO	NOTT	URNO	24	Н
Categorie	LEGGERI	PESANTI	LEGGERI	PESANTI	LEGGERI	PESANTI	LEGGERI	PESANTI	LEGGERI	PESANTI
Addetti	359	-	29	-	1'495	-	-	-	1'495	-
Tirocinanti	42	-	4	-	177	-	-	-	177	-
Visitatori	205	-	187	-	1'170	-	-	-	1'170	-
Fornitori	7	6	4	-	70	70	-	-	70	70
Pronto Soccorso	18	-	23	-	293	-	35	-	328	-
Pazienti esami ambulatoriali	166	-	55	-	1'097	-	10	-	1'107	-
Personale Sanitario ambulatori	17	-	1	1	146	-	4	1	150	-
Veicoli totali	814	6	302	-	4'447	70	49	-	4'496	70

Si è proceduto a una suddivisione degli spostamenti sulla base dello **split modale** ricavato dalle tabelle della relazione trasportistica "Ripartizione modale da dati ISTAT in Comune di Carpi" e "Stima degli addetti, utenti e fornitori per le destinazioni funzionali previste nel progetto", che distingue le tipologie di accesso all'ospedale (auto privata, trasporto pubblico, mezzi a due ruote, mobilità attiva). Questa suddivisione ha permesso di quantificare, per ogni mezzo di trasporto, la relativa incidenza sul totale degli spostamenti. L'intento è quello di **evitare una sovrastima delle emissioni**, distribuendo correttamente i veicoli coerentemente con la composizione del traffico generato.

Ai valori assoluti di spostamenti giornalieri per ciascun mezzo di trasporto è stato associato il rispettivo fattore medio di emissione precedentemente calcolato. In questo modo è stato possibile determinare una **media pesata complessiva** del **coefficiente di emissione CO₂** ponderata secondo la distribuzione percentuale delle categorie veicolari nel mix modale complessivo. Questo dato rappresenta un coefficiente sintetico che riflette fedelmente la composizione attesa del traffico veicolare afferente all'ospedale. Di seguito la tabella riepilogativa.

Mezzo di trasporto	spostamenti/giorno [/]	spostamenti/anno [/]	CO ₂ eq [kg/km*spostamento]	CO ₂ eq [kg/km*anno]
Autoveicoli	4175	1523823	0,19	296030
Bus	214	78145	0,83	64619
Motocicli	107	39072	0,08	3164
Veicoli pesanti	70	25550	0,59	14966
Totale	4566	1666590		378778
Media pesata	0,23			

Per stimare in modo accurato il volume complessivo di traffico generato dal nuovo ospedale, espresso in veicoli a km, si è utilizzato il valore di **4.087 veicxkm**, corrispondente all'ora di punta del mattino, come riportato nella **relazione trasportistica**.

Per evitare una sovrastima legata all'estensione diretta di questo valore su tutte le 24 ore della giornata, il valore di picco è stato riproporzionato sull'intera giornata utilizzando le percentuali orarie di distribuzione degli accessi, desunte dalla tabella "Andamento della distribuzione giornaliera degli ingressi/uscite". Ciò ha permesso di ricostruire la curva oraria del traffico associato al complesso ospedaliero, calcolando così il totale dei veicoli a km giornalieri, pari a 22.813 veicxkm/giorno in modo coerente con i flussi effettivi di accesso.

Autore Attività Gara Esecuzione pag. **16** di 28 del file vari SF/10/19

Ingress	i/uscite nel g	jiorno feria	ale medio
ora	totale I/U	% I/U	veicxkm
0	7	0,15%	35
1	5	0,11%	25
2	5	0,11%	25
3	5	0,11%	25
4	5	0,11%	25
5	6	0,13%	30
6	83	1,82%	415
7	519	11,37%	2593
8	818	17,92%	4087
9	361	7,91%	1804
10	233	5,10%	1164
11	165	3,61%	824
12	169	3,70%	844
13	165	3,61%	824
14	317	6,94%	1584
15	376	8,23%	1879
16	235	5,15%	1174
17	279	6,11%	1394
18	285	6,24%	1424
19	165	3,61%	824
20	183	4,01%	914
21	156	3,42%	779
22	18	0,39%	90
23	6	0,13%	30
TOTALE	4566	100,00%	22813

Il valore giornaliero è stato poi moltiplicato per 365 per ottenere una stima su base annua. Infine, applicando il fattore medio di emissione pesato di 0,23 kg di CO₂ per km percorso, precedentemente calcolato sulla base dei dati ISPRA e della composizione modale dei veicoli, è stato possibile stimare la **componente emissiva del traffico** indotto dal nuovo ospedale, pari a **1.893 tCO₂eq/anno**.

2.4 Perdita assorbimento CO₂ dovuta a impermeabilizzazione dei suoli (SOIL SEALING)

Il carbonio organico immagazzinato nei suoli o soil organic carbon stock (SOC-Stock) descrive il quantitativo di carbonio organico contenuto in un dato spessore di suolo per unità di superficie. È espresso in Mg/ha e tiene conto anche delle aree prive di suolo che di fatto annullano la capacità di immagazzinamento del carbonio organico. Dal SOC-Stock è possibile stimare la quantità di CO₂ immagazzinata nei suoli regionali attraverso la relazione CO₂eq. = SOC-stock * 3,667. La conoscenza del contenuto attuale di carbonio organico dei suoli permette non solo di valutare lo stato qualitativo dei suoli ma anche di stimare la quantità di CO₂ immagazzinata e i potenziali di accumulo o perdita in seguito a variazioni d'uso o a modifiche di gestione.

La Carta del carbonio organico immagazzinato nei suoli della regione Emilia-Romagna fornisce il dato del contenuto di CO in Mg/ha nei primi 30 cm di suolo. Il valore è stimato considerando la distribuzione dei diversi tipi di suolo e l'incidenza delle superfici di non suolo, intese come aree occupate da acque superficiali, urbano ed infrastrutture. La rappresentazione del territorio avviene attraverso un raster con pixel con lato di 100 m. L'attribuzione del valore alla cella è il risultato di un'analisi geostatistica in pianura e di Digital Soil Mapping in Appennino; la distinzione tra aree

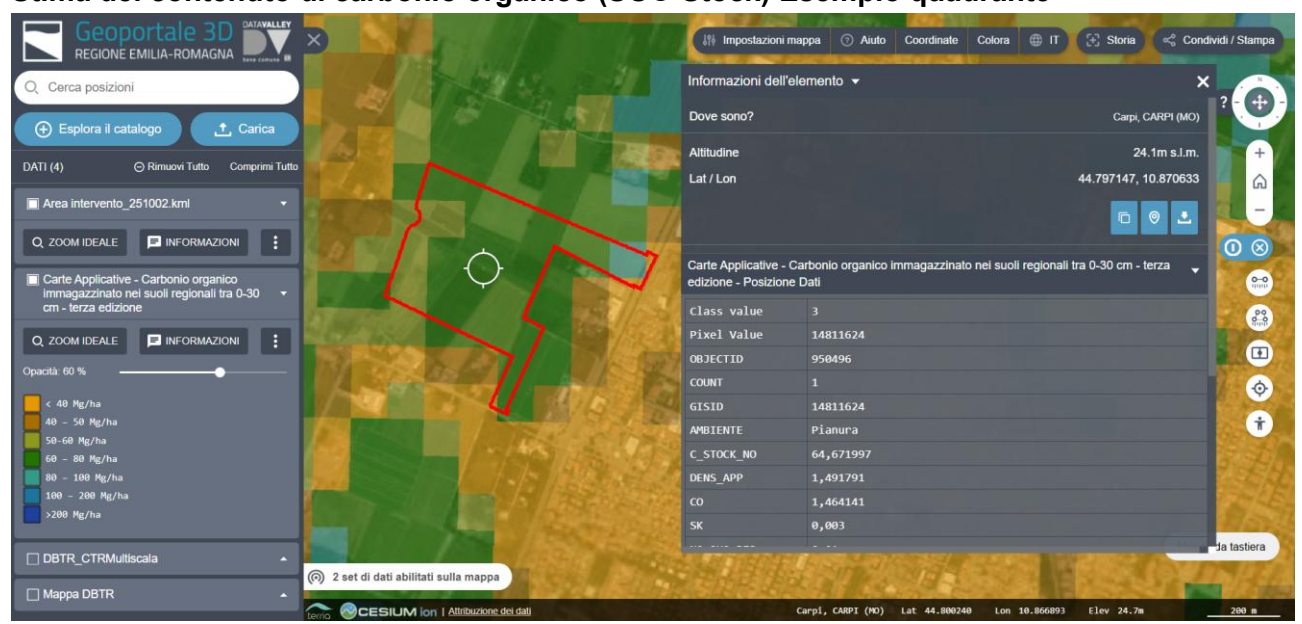
Autore Attività Gara Esecuzione pag. **17** di 28 del file

occupate da suolo e quelle occupate da non suolo deriva dalla Carta dell'uso del suolo 2017 ed.2020, elaborata dal Settore innovazione digitale, dati, tecnologia e polo archivistico della Regione Emilia-Romagna.

Stima del contenuto di carbonio organico (SOC-Stock) nei suoli della regione Emilia-Romagna alla profondità di 0-30 cm



Stima del contenuto di carbonio organico (SOC-Stock) Esempio quadrante



Nello specifico l'area di intervento ricade in 23 quadranti aventi i seguenti valori di SOC – Stock:

OBJECTID	SOC- Stock [Mg/ha]	
951409	61,22	

Esecuzione

OBJECTID	SOC- Stock [Mg/ha]
949579	60,49

OBJECTID	SOC- Stock [Mg/ha]
948665	55,60

Autore Attività Gara SF/10/19

vari

pag. 18 di 28 del file

951410	65,15
951411	65,13
950494	61,49
949577	60,20
951412	72,62
950495	67,95
949578	65,82
948663	59,40
948664	58,07

vari

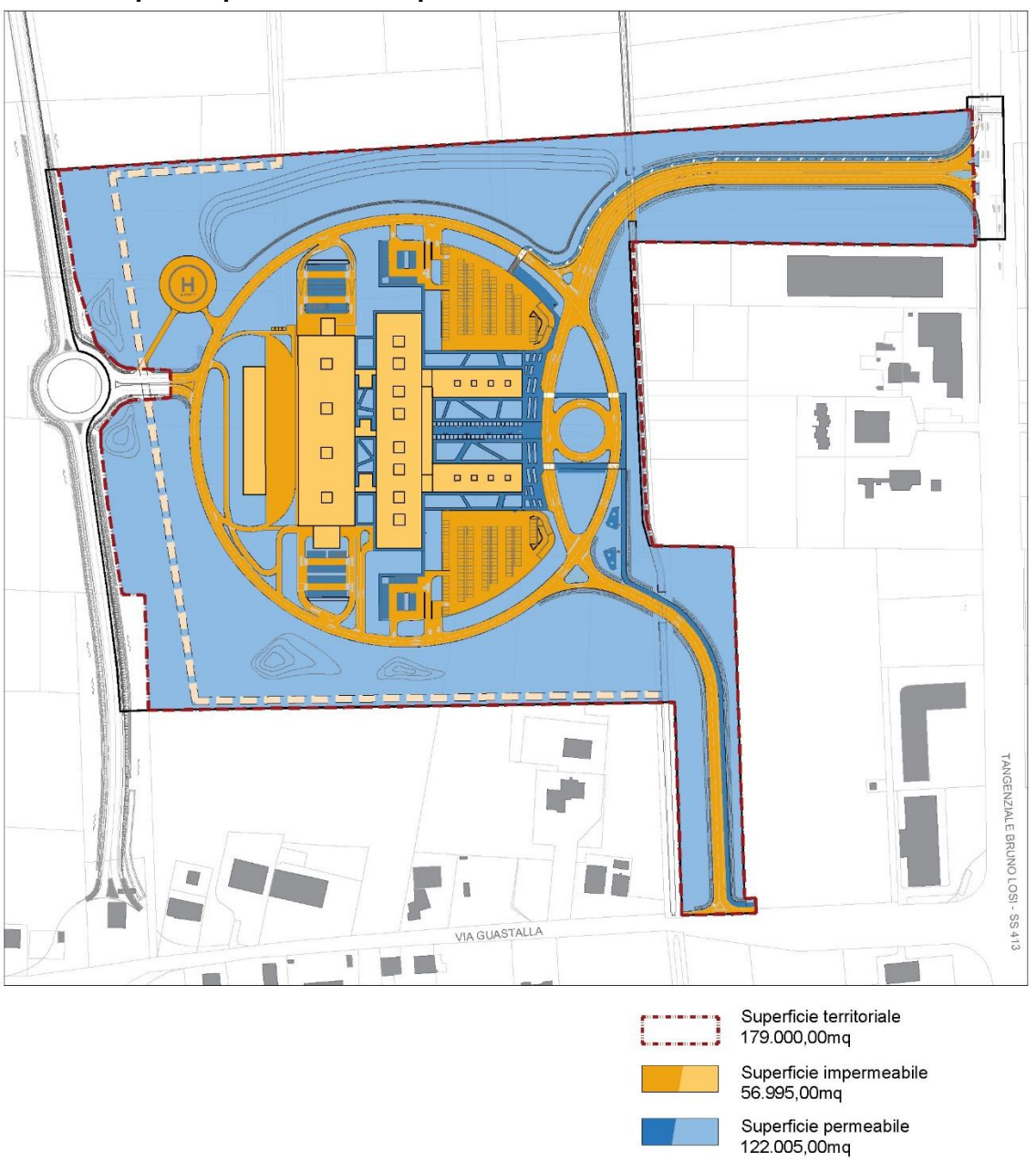
64,67
69,91
68,71
61,58
85,93
71,38
75,71
69,13
59,08

949581	60,79
950498	69,19

Valore medio	65,62
--------------	-------

Per valutare il carbonio stoccato nell'area oggetto di intervento che andrà perso a seguito della realizzazione dell'opera, si considera un valore uniforme pari alla media dei valori sopra riportati, ovvero 65,62 Mg/ha.

Schema superfici permeabili e impermeabili



Autore Attività Gara Esecuzione pag. 19 di 28 del file SF/10/19

Il calcolo viene limitato alla superficie che nello scenario futuro risulterà effettivamente **impermeabilizzata** ossia pari a **56.995,00 mq** (**5,7 ha**) rispetto alla superficie complessiva dell'area di intervento di 179.000,00 m².

Se ne deduce quindi che il carbonio organico perso per effetto dell'impermeabilizzazione e la CO₂ ad esso associata risultano essere pari a:

- SOC Stock: 5,7 ha * 65,62 Mg/ha = 374,03 Mg CO
- CO₂ potenziale: 374,03 Mg CO * 3,667 = 1371,57 tCO₂

D'altra parte, occorre considerare anche che la porzione di suolo permeabile, sottratta alla coltivazione e destinata alla piantumazione di essenze arboree e arbustive o, più semplicemente, alla formazione di un prato stabile, nel tempo si caratterizzerà per un accumulo di carbonio superiore rispetto a quello attuale derivante dalle normali pratiche agricole.

Tale valore può essere calcolato a partire dalla tabella seguente, desunto dalla metodologia con la quale è stata costruita la carta del SOC Stock nei primi 30 cm di suolo.

SOC-Stock nei primi 30 cm di suolo nei diversi territori e usi del suolo regionali

	CORI	NE Land Cover 2° Livello	Superficie (ha)	% superficie regionale	Valore medio SOC-Stock (Mg/ha)	Contenuto totale Stock (Mt)	% SOC- Stock sul totale
	21	Seminativi	969080	43.2	58.3	56.5	42.1
₩.	22	Colture permanenti	139591	6.2	46.6	6.5	4.8
TERRITORI	23	Prati stabili	79898	3.6	67.3	5.4	4.0
RRI	24	Zone agricole eterogenee	13829	0.6	60.0	0.8	0.6
E A		totale	1202398	53.6		69.2	51.6
ш	31	Aree boscate	555534	24.7	78.9	43.8	32.7
RI BOSCATI E URALI	32	Ambienti con vegetazione arbustiva e/o erbacea in evoluzione	94362	4.2	65.2	6.1	4.6
TERRITORI BOS SEMINATURALI	33	Zone aperte con vegetazione rada o assente	27015	1.2	29.1	0.8	0.6
E S	· · · · · · · · · · · · · · · · · · ·	totale	676911	30.1		50.7	37.8

Di conseguenza, si presume che lo Stock di CO specifico sia assimilabile a:

Aree Boscate: 78,9 Mg/ha

Prati Stabili: 67,3 Mg/ha

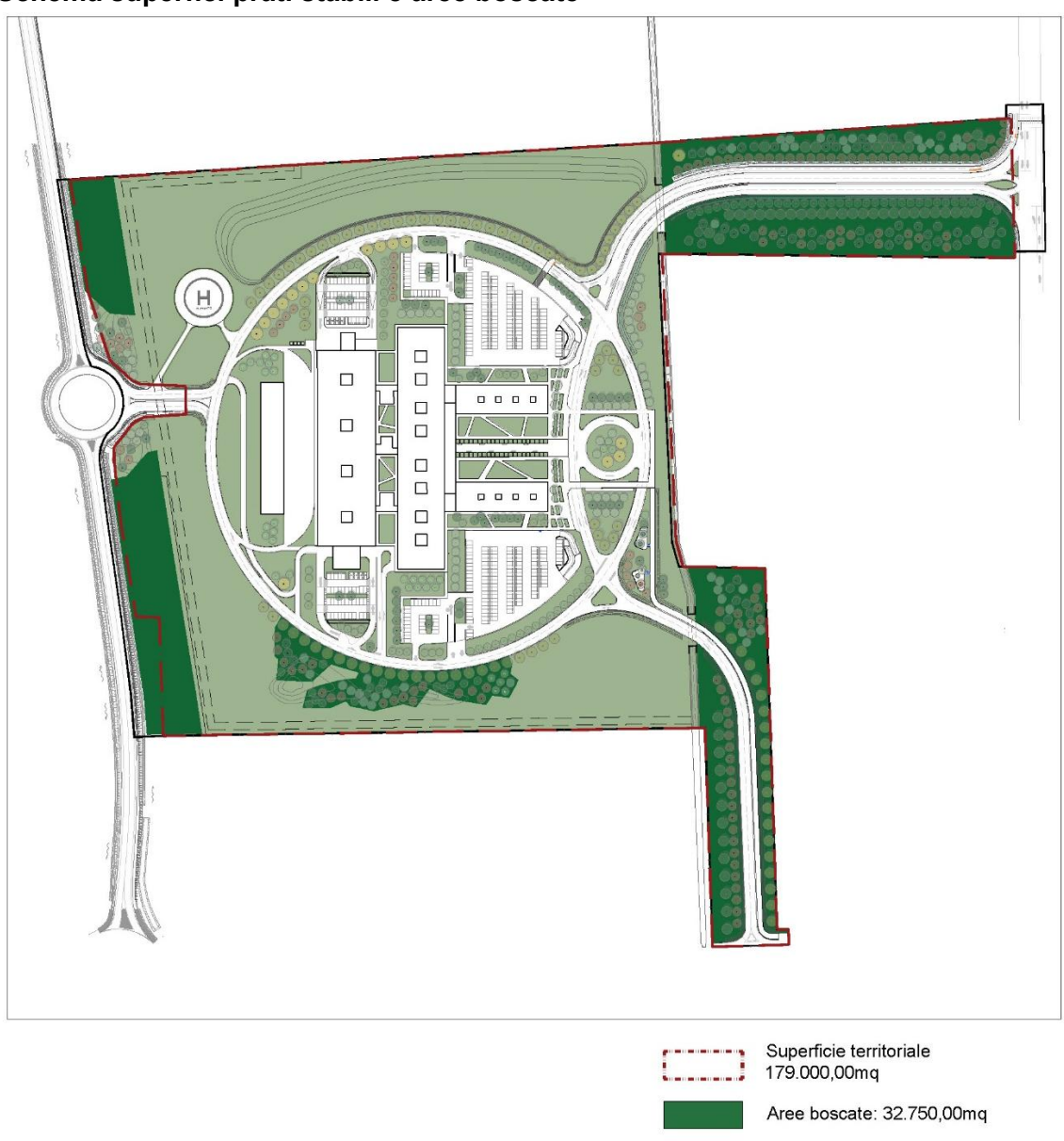
La superficie permeabile complessiva di progetto risulta essere pari a 122.005,00 mq, di cui:

- 32.750,00 mq (3,27 ha) assimilabile ad area boscata, composta da aree di compensazione ambientale con piantagione forestale permanente e fasce boscate lungo le strade d'accesso all'ospedale;
- 79.950,00 mq (7,99 ha) assimilabile a prato stabile, composta dalle restanti aree verdi di progetto;
- 9.305 mq (0,93 ha) di percorsi e pavimentazioni permeabili.

Autore Attività Gara Esecuzione pag. 20 di 28 del file

Prati stabili: 79.950,00mg

Schema superfici prati stabili e aree boscate



In sostanza, la trasformazione di tali aree, rispetto all'uso agricolo, incrementa lo Stock di Carbonio delle seguenti quantità:

- SOC Stock (Area Boscata): 78,9 Mg/ha 65,62 Mg/ha = 13,28 Mg/ha
- SOC Stock (Area a prato): 67,3 Mg/ha 65,62 Mg/ha = 1,68 Mg/ha

Se ne deduce quindi che, la quota aggiuntiva di carbonio organico stoccato e CO_2 ad esso associata, imputabile a terreni sottratti alla coltivazione agricola ma non impermeabilizzati, sui quali si interviene mettendo a dimora alberi, arbusti o semplicemente realizzando del prato, risultino essere pari a:

- SOC Stock: 3,27 ha * 13,28 Mg/ha + 7,99 ha * 1,68 Mg/ha = 56,85 Mg CO
- CO₂ potenziale: 56,85 Mg CO * 3,667 = **208,47 tCO₂**

A questo punto può essere stilato un bilancio relativamente agli effetti sullo Stock di Carbonio e al potenziale di assorbimento della CO₂, a seguito della realizzazione dell'intervento.

Autore Attività Gara Esecuzione pag. **21** di 28 del file vari SF/10/19

	Impermeabilizzazione del suolo agricolo	Trasformazione da suolo agricolo a prato o area boscata	Differenza		
Totale SOC – Stock [Mg]	-374,03	+56,85	-317,18		
Totale CO2 potenziale [tCO2]	-1.371,57	+208,47	-1.163,1		

Per effetto quindi dell'impermeabilizzazione di parte dell'ambito di intervento, nonostante l'incremento ottenibile dall'inserimento di essenze arboree e arbustive, si ha una perdita dello Stock di Carbonio pari a **317 Mg** cui è associata una perdita nell'assorbimento di CO₂ potenziale di **1.163 tCO**₂.

3 PIANTUMAZIONI

L'intervento prevede la messa a dimora di **686 alberi** all'interno del perimetro dell'area ospedaliera, articolati secondo criteri compositivi e funzionali che ne ottimizzano l'efficacia ambientale, ecologica e paesaggistica. Le essenze arboree complessive sono rappresentate nella tavola "*Planimetria generale opere a verde/arredi*", in cui viene illustrata anche la distribuzione spaziale delle alberature, aggregate in filari, gruppi compatti a formare nuclei boscati e in soluzioni puntuali per il completamento e la qualificazione delle aree verdi interstiziali.

La scelta delle specie vegetali è stata effettuata privilegiando essenze autoctone e caratterizzate da elevata capacità di assorbimento di CO₂, al fine di potenziare la funzione di mitigazione climatica e compensazione delle emissioni climalteranti generate dall'intervento edilizio.

Le principali specie arboree selezionate sono:

- Ostrya carpinifolia
- Acer campestre
- Quercus pubescens
- Tilia cordata "Greenspire"
- Ginkgo biloba
- Cercis siliquastrum
- Celtis australis
- Morus alba fruitless
- Fraxinus oxycarpa/angustifolia

Tutte le essenze sono conformi alle indicazioni del Regolamento del Verde comunale e sono state scelte anche in funzione della loro adattabilità al contesto climatico locale, resilienza agli stress idrici, lunga durata nel tempo e capacità di contribuire alla biodiversità urbana.

Tale impostazione progettuale consente di integrare la componente vegetale in modo sinergico con gli altri ambiti dell'intervento, assicurando al contempo un beneficio ambientale strutturato, duraturo e quantificabile in termini di assorbimento di CO₂, riduzione dell'effetto isola di calore, miglioramento del comfort microclimatico e qualificazione ecologico-paesaggistica del nuovo polo ospedaliero.

Autore Attività Gara Esecuzione pag. 22 di 28 del file

In via cautelativa, si è scelto di non considerare, ai fini del calcolo complessivo, la componente di stoccaggio di CO₂ associata agli arbusti. Tale decisione è stata presa in quanto il contributo degli arbusti all'assorbimento totale di anidride carbonica risulta estremamente limitato e, pertanto, trascurabile rispetto a quello fornito dalle alberature.

La **stima dell'assorbimento di CO**₂ apportato dall'intervento di piantumazione in progetto sulla qualità dell'aria locale e sul riscaldamento globale è stata effettuata sulla base delle informazioni riportate nel foglio di calcolo "BENEFITS- BENEFici ecosIsTemici dell'infraStruttura verde urbana" realizzato nell'ambito del corso di formazione **REBUS®** REnovation of public Buildings and Urban Spaces ideato dal Servizio Pianificazione Territoriale e Urbanistica, dei Trasporti e del Paesaggio della Regione Emilia Romagna. L'analisi considera le specie selezionate in fase progettuale, la loro capacità media di assorbimento in funzione del diametro e dell'età, nonché l'orizzonte temporale di riferimento, assunto pari a 20 anni per garantire una proiezione attendibile degli effetti di mitigazione.

Il foglio di calcolo riporta, per le principali specie arboree utilizzate per scopi ornamentali in Italia, il potenziale di abbattimento degli inquinanti e la CO₂ potenzialmente assimilata e stoccata.

Nella seguente figura si riporta un estratto del foglio di calcolo BENEFITS.

4 A	В	С	D	E	F	G	н	ı	
REBUS REnovation of public E and Urban Spaces	S ® Buildings								
NOME LATINO	NOME VOLGARE	FAMIGLIA	GENERE	NUMERO PIANTE	Potenziale CO2 stoccata nuovo impianto (kg):	Potenziale CO2 assimilata nuovo impianto (kg/y):	TOTALE CO2 STOCCATA (kg)	TOTALE CO2 ASSIMILATA (kg/y)	
4 Acacia dealbata	Mimosa	Fabaceae	Acacia		5	5	0	0	
5 Acer eampestre	Acero campestre	Sapindaceae	Acer		8	3	0	0	
6 Acer negundo	Acero americando		Acer		8	3	0	0	
7 Acer platazoides	Acera riccia	Sapindaceae	Acer		8	7	0	0	
8 Acer pseudoplatanus	Acero di monte	Sapindaceae	Acer		8	4	0	0	
9 Acer rubrum	Acero rosso	Sapindaceae	Acer		8	8	0	0	
10 Acer saccharinum	Acero argenteo	Sapindaceae	Acer		8	7	0	0	
Acsculus hippocastanum	Acacia dealbata	Sapindaceae	Aesculus		6	5	0	0	
Aesculus x carnea	Ippocastano rosso	Sapindaceae	Aesculus		3	5	0	0	
13 Ailanthus altissima	Albero del paradiso	Simaroubaceae	Ailanthus		6	5	0	0	
Albizzia julibrissiu	Acacia di Costantinopoli	Fabaceae	Albizzia		5	5	0	0	
Araucaria araucana	Araucaria del Cile	Araucariaceae	Araucaria		2	2	0	0	
16 Baubinia purpurea	Bauhinia purpurea	Fabaceae	Bauhinia		1	1	0	0	
17 Betula nigra	Betulla del fiume	Betulaceae	Betula		8	4	0	0	
18 Betula papyrifera	Betulia da carta	Betulaceae	Betula		8	4	0	0	
19 Betula pendula	Betulla bianca	Betulaceae	Betula		8	4	0	0	

Per i dati relativi al potenziale abbattimento degli inquinanti si è fatto riferimento al progetto "Qualiviva - la qualità nella filiera florovivaistica nazionale attraverso l'utilizzo e la divulgazione delle schede varietali e di un capitolato unico di appalto per le opere a verde", un progetto di ricerca finanziato dal Ministero delle Politiche Agricole Alimentari e Forestali.

I calcoli, come riportato anche nelle schede, sono delle stime indicative, quindi parametri non precisi, riferiti a due fasi di crescita delle piante: **nuovo impianto** ed **esemplare maturo**. Inoltre, la capacità delle piante di assorbire inquinanti dipende dalla posizione di messa a dimora, dalla loro vigoria, dallo stato fitosanitario, dalle potature effettuate e dall'interazione di molteplici fattori non predicibili a tavolino. I valori di calcolo ottenuti hanno fornito una stima dell'anidride carbonica stoccata, assimilata e degli inquinanti rimossi ogni anno dalle piante.

I risultati, sintetizzati nella tabella seguente, evidenziano il contributo complessivo delle alberature di progetto alla riduzione del bilancio emissivo dell'intervento. Per una visione dettagliata dei dati, si rimanda al foglio di calcolo REBUS®, riportato nell'**Allegato A** del presente elaborato.

Autore Attività Gara Esecuzione pag. 23 di 28 del file vari SF/10/19

Dati utilizzati per il calcolo della quantità di CO₂ assorbita dalle piantumazioni in progetto

NOME LATINO	NOME VOLGARE	NUMERO PIANTE	TOTALE CO ₂ STOCCATA (kg) nuovo impianto	TOTALE CO ₂ ASSIMILATA (kg/y) nuovo impianto	TOTALE CO ₂ STOCCATA (kg) esemplare maturo	TOTALE CO ₂ ASSIMILATA (kg/y) esemplare maturo
Acer campestre	Acero campestre	107	856	321	53393	12840
Celtis australis	Bagolaro	54	324	270	201420	17550
Cercis siliquastrum	Albero di Giuda	130	260	260	18200	2340
Fraxinus oxycarpa	Frassino orniello	33	198	165	54945	5544
Ginkgo biloba	Ginkgo biloba	16	128	64	57696	9584
Morus spp.	Gelso	94	752	376	46906	13348
Ostrya carpinifolia	Carpino nero	116	928	464	57884	16472
Quercus robur	Farnia	41	246	205	283638	17876
Tilia cordata	Tiglio selvatico	95	380	760	342570	56905
Totale		686	4072	2885	1116652	152459

Una volta che le 686 essenze arboree saranno **giunte a maturità**, queste piante saranno in grado di assorbire **ogni anno** un totale stimato di **152.459 kg** (**152,5t**) di anidride carbonica dall'atmosfera. Questo valore corrisponde a una **capacità media di assorbimento** di circa **222 kg di CO₂ per singolo esemplare all'anno**, evidenziando il significativo contributo che tale intervento arboreo apporta alla mitigazione delle emissioni di gas serra e al miglioramento della qualità dell'aria.

Per ottenere una **verifica** più ampia e approfondita delle caratteristiche delle alberature di progetto e dei **dati relativi alla CO₂ assimilata e stoccata**, è stato condotto un confronto tra diverse fonti e strumenti di calcolo. In particolare, sono state analizzate le schede di ciascuna specie arborea di progetto presenti nel **Catalogo "Alberi per la città"**, realizzato *dall'Osservatorio Regionale per la Qualità del Paesaggio Emilia-Romagna* in collaborazione con i Dipartimenti di Scienze e Tecnologie Agroalimentari e di Architettura dell'Università di Bologna e con il Settore Patrimonio Culturale, finanziato attraverso il programma "*Mettiamo Radici per il Futuro*". Le schede relative alle alberature di progetto sono riportate nell'**Allegato B** del presente documento.

Oltre a queste fonti, per affinare la valutazione delle capacità di assorbimento di CO₂ delle diverse specie in funzione della dimensione del tronco, è stato utilizzato anche il tool *VIVAM*, sviluppato nell'ambito del progetto "floroVIVaismo di qualità per la mitigazione e sostenibilità ambientale", promosso dall'IBE-CNR (Istituto per la BioEconomia / ex IBIMET). Questo strumento, combinando i

Autore Attività Gara Esecuzione pag. **24** di 28 del file vari SF/10/19

principali parametri biometrici degli alberi – diametro a petto d'uomo (DBH = 130 cm), età, stato fitosanitario ed esposizione alla radiazione solare – permette di calcolare il sequestro di CO₂ e di altri inquinanti atmosferici in base alla località di impianto, al numero di esemplari e ai diametri del tronco (iniziale e obiettivo). Le simulazioni sono state effettuate per ciascuna delle specie arboree previste a progetto, considerando il relativo **numero di esemplari**, utilizzando il modello **i-Tree Eco v6.0.21** per stimare i valori di CO₂ cumulata e sequestrata. I risultati di queste elaborazioni sono raccolti nell'**Allegato C** del presente elaborato.

Al fine di effettuare un **bilancio coerente e confrontabile** tra i valori di CO₂ stoccata derivanti da **strumenti diversi**, è stato necessario armonizzare i dati considerando le specie effettivamente presenti a progetto e quelle disponibili nei rispettivi database botanici. È ragionevole considerare che **specie appartenenti allo stesso genere**, e per di più molto simili tra loro dal punto di vista morfologico e fisiologico, presentino caratteristiche comparabili in termini di capacità di sequestro di carbonio. Pertanto, per allineare le stime ed evitare discrepanze tra i diversi strumenti, garantendo al contempo coerenza con la configurazione delle specie di progetto, si è operato come segue:

- Per il Morus alba 'Fruitless', all'interno del foglio di calcolo REBUS è stato utilizzato il Morus spp. come specie di riferimento, mentre su VIVAM è stato considerato il Morus alba 'Pendula':
- Per il Quercus pubescens, all'interno del foglio di calcolo REBUS è stato utilizzato il Quercus robur come specie di riferimento;
- Per il Fraxinus oxycarpa, su VIVAM è stato considerato il Fraxinus excelsior.

Oltre alla componente vegetale di progetto finora analizzata, è stata individuata una specifica area di forestazione all'interno del comparto ospedaliero, per una dimensione complessiva di circa **9.200 mq (0,92 ha)**. In queste aree verranno messi a dimora complessivamente **736 alberi**, con una densità media di impianto di circa 800 esemplari per ettaro. La forestazione sarà costituita da un bosco misto di latifoglie, con prevalenza di Roverelle (*Quercus pubescens*) e Cerri (*Quercus cerris*), specie selezionate per la loro elevata capacità di assorbimento di CO₂.

Il valore medio di assorbimento annuale, pari a 222 kgCO₂ per esemplare maturo, precedentemente calcolato sulla base delle specie e della densità previste a **progetto**, è ritenuto applicabile anche alle aree di forestazione aggiuntiva, in quanto caratterizzate da **specie analoghe** e **quantità proporzionali**.

Sulla base di questa stima, l'intervento di forestazione è in grado di assorbire un totale di circa **163,4 tCO₂ all'anno a raggiungimento della maturità delle alberature**, contribuendo al bilancio emissivo complessivo del progetto.

Autore Attività Gara Esecuzione pag. 25 di 28 del file

4 BILANCIO FINALE E CONCLUSIONI

Sulla base delle valutazioni svolte in precedenza è possibile svolgere un bilancio complessivo in termini di perdita o incremento della capacità di assorbimento e riduzione delle emissioni climalteranti in termini di CO₂.

In particolare, vengono considerati con il segno positivo tutti quegli interventi che comportano una perdita della capacità di assorbimento mentre con il segno negativo tutti quelli che incrementano tale capacità.

Nella seguente tabella è riportato il dettaglio delle diverse voci considerate nel bilancio emissivo.

Bilancio emissivo in termini di tCO₂ derivante dall'attuazione dell'intervento

Incrementi / Riduzioni dell'assorbimento CO ₂ derivante dall'attuazione dell'intervento	CO ₂ eq [t/anno]
Emissioni di CO ₂ componente termica ed elettrica	+1983
Emissioni di CO ₂ componente rifiuti	+7
Emissioni di CO ₂ componente traffico indotto	+1893
Perdita assorbimento CO ₂ dovuta a impermeabilizzazione terreni agricoli	+1372
Totale Incrementi	+5255
Incremento assorbimento CO2 dovuto ad aree verdi rispetto a terreni agricoli	-208
Assorbimento CO2 alberature a progetto a maturazione	-152
Assorbimento CO ₂ alberature a maturazione aree di forestazione	-163
Totale Riduzioni	-523
TOTALE Bilancio Emissivo annuo	+4732

L'attuazione del comparto ospedaliero comporta un incremento complessivo delle emissioni annue pari a circa **+5.255 tCO₂**, determinato principalmente dalla componente termica ed elettrica dell'edificio (+1.983 tCO₂/anno) e dal traffico indotto (+1.893 tCO₂/anno), seguiti dalla perdita di assorbimento dovuta all'impermeabilizzazione dei terreni agricoli (+1.372 tCO₂/anno).

Gli interventi di mitigazione previsti - tra cui la realizzazione di aree verdi, nuove alberature e area di forestazione - consentono, a maturazione della vegetazione, una riduzione complessiva di **circa 523 tCO₂/anno**, pari a un **abbattimento del 10%** rispetto al bilancio emissivo teorico iniziale (+5.225 tCO₂/anno), portando il totale a **+4.732 tCO₂/anno**.

Le stime condotte per ciascuna delle componenti emissive sono state derivate da relazioni specialistiche, simulazioni e modelli previsionali coerenti con la destinazione funzionale dell'intervento e con le soluzioni impiantistiche attualmente ipotizzate. Tuttavia, è importante sottolineare che tali stime, per quanto fondate e cautelative, non rappresentano ancora una fotografia definitiva delle reali prestazioni del futuro edificio ospedaliero, che sarà raggiunta solo in fase di progettazione esecutiva.

Autore Attività Gara Esecuzione pag. **26** di 28 del file vari SF/10/19

Per tale motivo, si prescrive l'**aggiornamento del bilancio emissivo** una volta che saranno disponibili i dati di dettaglio derivanti dalla **progettazione esecutiva**, fase nella quale sarà possibile effettuare una valutazione più puntuale e aderente alla configurazione finale dell'opera, anche in relazione all'effettiva composizione tecnologica dei sistemi edilizi e impiantistici e alla definizione degli scenari di esercizio.

In sintesi, pur in presenza di una fase progettuale ancora non definitiva, il presente bilancio emissivo rappresenta un punto di partenza solido e coerente con gli obiettivi normativi, strategici e ambientali dell'intervento, e potrà essere affinato e verificato puntualmente in sede esecutiva per migliorare l'impatto ambientale dell'opera.

Autore Attività Gara Esecuzione pag. **27** di 28 del file vari SF/10/19

- 5 ALLEGATO A FOGLIO DI CALCOLO REBUS
- 6 ALLEGATO B SCHEDE DA CATALOGO "ALBERI PER LA CITTÀ"
- 7 ALLEGATO C SIMULAZIONI MODELLO "VIVAM"

Autore Attività Gara Esecuzione pag. 28 di 28 del file

5 ALLEGATO A – FOGLIO DI CALCOLO REBUS

Autore Attività Gara Esecuzione

vari SF/10/19



															1					
ROME LATINO	HOME VOLGARE	militera	•	NUMERO PLANTE	Pelandelo OM elecutio sesso Implesto (Ingl	Principle III entelligh surre Ingleste (1975)	THERE ARE ATTACKED (MA)	THERE OLD ADDRESS (18/2)	landala CEE alescada conspiero matero (lagi:	Principle III antiditis complete mater (14/4)	Abbellionsis GI complete makes (40/1)	Abellands III emples sales PAVII	Abbelliando III complete antero POVO	Albeitheadh Päith easaphar main (Pai/di	Of Assessed one constant	THE COLUMN SERVICE COLUMN	THERE OF AUGUSTON (COA)	THERE BEE ASSAULTE (LEC'S)	MATERIAL STREET, SEC. (1967)	THESE PERSONALITY (1957)
Annie de Carlo	Minosa	Fateceae	Asada		6	s s			408	82	4,01	8,85	8,01	6,81			4			
Ant respects	Acera campertre	Sapindaceae	Acada Acad	187		3	854	221	499	120	6,1	6,65 6,65	6.5	6,81	53293	12840	16,7	1,87	1,67	10,7
And regards	Acera americando	Sapintaceae	Aur			1	854 0 0 0		491	120	6,91 6,3	0,1	6,1 6,3 6,3	6,81	\$2393 4 4 4 4					
Ann photoster	Asses riscle	Sapindaceae	Acer						1844	189	u	0,0	6.5	0,1						
	tonom	Sapintaceae	Aur .		- :				1844	***	41	81	63	81						
Ant conductors	Acera argentes	Sapintaceae	Auer			,			1844	228	ti	0,1	u	0,1						
Amelia Hyperatura	Acacia dealhata	Sapintaceae	Assalus						2720	225	6,1	6.1 6.3 6.3 6.1 6.1 6.2 6.3 6.4 6.1 6.3 6.4 6.4 6.4 6.4 6.4	ti	0,1		6 2340 C C C C C C C C C C C C C C C C C C C	4			•
Amainzama	(ppecadase rosa	Sapindaceae	Ansalas						2167	188	63	0,4	6,5	0,1						
	Aftern del paradica	fateran	Allatha						1831	219	6.1	0,1	4.1	0,1			•	•		•
Annual constr	Acactual Cestarinepel	Acucariaceae	tenente		- :			- :	1149	115	41	41	63	0,1						- :
Analisis papares	Badinia pupuna	Falteceae	Roublinia		1				19	18	4,61	0,01	6.3 6.5 6.01 6.2 6,01	6,81						
Antala algor	Betwie del finne	Shitutaceae	Betata			4			1844	268	41	0,1	6.1	0,2	-	0 0				-
Antain papellan	Betalia da carta	Betalaceae	Betata			4			2606	500	6.1	0,1	6,1	0,3						
Ann parks	Betallablasca	Betataceae	Betata			4	0		1844	258	ti .	0,1 0,1 0,1	63 63	0,1						
Anniquent paperson	Canipage	Bristone	Backychites Combon					- :	144	17		0,1		0,1						- :
Augu Albanasia	Pecas	Juglandaceae	Carya						6018	424	u	0,1	u	6,2						
Antique September	Albert del signi	Migroniacean	Catalya			4			1844	268	41	0,1	u	0,1	-					
Authoritatio	Regulars	Cannabasean	Cultis	54		1	224	276	2720	225	6.1	0,2	63 63 6,65	0,1	281420	17650	5,6	10,8	10.0	14,2
Andrew Cityes	Canaba	Fathernae	Cavatonia			4			254	4	41	0,1	4,61	6,1				0 10,8 0 0 1,3		
And Contra	Attend Guts	Fatecase	Consis	131			201	260	101	18	41	8.61	601	681	18200	2240		11	13	u
Alexanguah kejawahan	Ciprosa di Lawasa	Сиргенцияна	Chanacopais		2	2			841	165	40	0,2	tu .	0,1						
Market qualur	Celta speciesa	Bonhacacrae	Charlela		1	4			512	54	43	0,1	6,61	0,1			4			•
Alexander capture	Albert della carbra	Lauraceae	Consession				0 224 0 0 0 248 0 0 0 0 0 0 0 0 0 0 0 0 0 0 0 0 0 0 0		1897	133	6,4	6,2	6,3 6,91 6,3 6,91 6,91	0,2	201-030 1	6 6 17556 6 6 7 7 7 7 7 7 7 7 7 7 7 7 7 7 7 7		6 6 6		
Maranto	Arancia amara o metangelo	Reteres	Clous		•	4				26	8,01	6,65	6,61	6,81			•	•		
dele mir-	Nacido	Bristone	Covies		- :	2			484	28	8,61 8,1	0,61	0,01 6,1	6,81	<u> </u>	:			:	- :
Angles misses	Neccide di Cortantinopoli	Betalaceae	Corples		2	22			972	262	60	0,0	-	6,1				•		
Applicants (species	Crystoneria japonica	Сиренциализа	Organica		2	2	0	4	1549	165	es es	6,2	6.2	0,1					0	
Agreemen companyations	Ciprosa	Сиренциализм	Cuprossus			4			111	100 101 101 101 101 101 101 101 101 101	61	6.1 6.2 6.1 6.1 6.2 6.2 6.3 6.3 6.3 6.4 6.4 6.4 6.4 6.4 6.4 6.4 6.4 6.4 6.4	0,01	100 100 100 100 100 100 100 100 100 100	4					
Magen stylister	Lete assericano	Descrip	Disapprox			4			1844	258	u c	0,1	0,01	0,1	-					-
	Afters del costilo	Falsonae	Erndebya Erythrina		1	1	0		162	52 68	es es	0,1 0,1 0,60 0,1 0,1	0,01 0,01	8,1	<u> </u>				:	- :
Anniples Saltida	Eucalystus Suitelia	Mytaceae	Societa			10			24		61	0,01	6.1	6,1				•		
المعم مخوضة	Securipto del cidro	Mytaceae	Exceptes		2	4	0	4	4028	45 68 220 224 29 142 155 140 240 240 240 240 240 240 240 240 240 2	6,1	0,1	6,5 6,01	0,1	4	0			0	
Agin-phoths	Faggia	Faguras	Fagus			1			1621	219	6,1	0,1	62	0,1						
Ann amorphita	Fice delta bala di Maretso	Marcon	Flore		1				2601	224	63		0,01	0,3	-		•			•
Ann phones	Place of cricarya	Material	Flori			- :		- : -	222	29	401	0,1	61	8,1	- :					- :
Andrew sandster	Francisc maggiore	Oteaceae	France		1	2			1828	125	u u	6,2	tu .	6,2						
Parker seen	Fraccino meridionale	Otraceae	Franks		2 2 2 4 4 4 4 4 4 4 4 4 4 4 4 4 4 4 4 4	2	0 0 0 258 228		972	99	u	0,1 0,1 0,2 0,1 0,7 0,1	6,1 6,0 6,0 6,1	0,1	0 0 0 0 0 0 0 0 0 0 0 0 0 0 0 0 0 0 0	0 0 0 0 0 0 0 0 0 0 0 0 0 0 0 0 0 0 0		0 0 0 22,1 1,6		
Andrew squages	Francisc antiette	Oteaceae	Franks	22			198	165	1865	168	41	0,7	6.1	0,1	Sens	5544	3,3	23,1	23,1	13
distriction	Cintgo siluto	Chipson	ting	16		4	128	64	2606	599	ti	0,1	u	0,1	57696	9584	1,6	1,6	1,6	u
district character	Spine di Ciuda e spina cristi	Patrone	Codina		1 2			- :	1921	219	6.5	0,1 0,2 0,1 0,2	6,3 6,01 8,01 6,3	0.1	- :					- :
Annual about the	Jacaranda Mu	Egeoriaceae	Jacowanda						125	25	u	0,1	8,01	8,1						
Angleses adjects	Nace new	Inglandaceae	Jugans			1			2720	225	ti	0,2	u	0,1						
Anglesia Angles	Nace biance	Juglandacean	Jugians			4			1844	258	6.1	0,1	u	0,1						
Redrestate pastesials	Albert derate della pieggia	Sapindaceae	Kostestaria						599	286 27 28 66 62 233 606 342 344 541 342 608	4,01	6,61 0,1 0,1 0,1 0,2 0,61 0,2 0,61 0,2	ti	6,81						
inner almost	Regracionis	Mahaceae	Laternania		1	1			131	n n	61	6,1	6,61 6,4 6,3 6,4 6,5 6,6	8,1	- :					- :
Updituder elpredites	Starace americano	Atinglaceae	Liquidantor		2	2	0 0		2000	2112	6.5	0,1	u	0,1				0		
Districted tallythin	Sulpitors	Magneliaceae	Driedendos			í	•		6018	434	es es	0,2	6,6	6,2			•			•
Marine president	Arancio degli Ocagi e galos del Tecas	Monocom	Maclara						499	142	8,01	0,61	6,5	6,81						
Kennya and	Magnetia	Magnatiaceae	Magnetia		1		•		1996	184	63	0,2	64	6,3			•	•		•
	Alberodel recall	Meliaceae	Weis		- 1		0		499	342	8,01 8,01	0,1	63 63	6,81	- 1			0		
	Abete Cacqua	Taxodiscose	Metanoqueia			i i			6918	424	63	0,3	6,4	6,3			4			
Marries.	Odia	Mesone	Mores	94		4	752	276	499	342	6,01	0,1	6,5 6,01	6,81	44904	12248	0,94	1,4	9,4	M
Below should	Oteandra	Арасупасная	Nation		1	2			22		4,01	0,61	6,01	6,81						
Ann spiniss	Tupetoners	Speaceae Oteaceae	No.			- :			499	342	6,91	0,1	6,5 6,5	6,81	- :			•		
Andreas opposite library	Cagino sero	Betalaceae	Odna	116		- 1	121	***	499	142	8,01	0,1	61	6,81	57894	16472	1,16	11,6	11,6	11,6
Autorito puntos	Alberopagada	Kamaneldaceae	Paretia			2	0 0 928 0	4	201	10 10 10 10 10 10 10 10 10 10 10 10 10 1	6,1	0,1 0,65 0,1 0,55 0,1 0,2 0,1 0,1	6,61	6,81		1 1 1 1 1 1 1 1 1 1 1 1 1 1 1 1 1 1 1	4	0,4 0 0 0 0 11,6		
Analogials instantions	Parioda	Paulovelaceae	Padovila			4			1100	214	61	0,1	u	0,1						
Mathematic correct	Suglem Amer	Retorne	Photodoxicos			4			499	162	6,01	0,1	6,1	6,81			•			•
Managements	Manusan	Platanaceae	Pidana				0		818	426		0,1 0,2 0,60 0,1	- U	0,1	- :					-
Alajadada esteriolis	Tala ericetala	Сиренциализм	Platysladus		1		0		22	12	8,91	0,61	0,01	0,1						
Aquatio alla	Piagge blance	Saficaceae	Popular			1			1621	219	4.1	0,1	62	0,1						
Appelor object	Pioppa sano	Saficaceae	Popular			-	0		2606	500	63	0,1	es es	8,1						
Annu contine Viscol	Pipera contributes	touces	Paper			1			1879 509	272	6,01	0,4	6,1 6,1 6,1	681		0 0 0				- :
Process consists	Ciliagia giapponesa	Roucese	Pane					4	509	n	8,01	0,65	6.1	6,81						-
Present exhibitions	Promocoubbirtella	Bouces	Peaus		1	-	٠		599	77	4,01	0,65	6,1	0,81				•	0	•
Acceptage associat	Abrir di Douglas	Pinaceae	Possistaga		2	2		4	2749	272	63	6,2	6,6	6,3				•		
Apres collegens	Pera Charticlear	fagren	Pyras		1 1 1 1 1 1 1 1 1 1 1 1 1 1	-			412	77 272 84 226 226 426 285 448	8,01	6.1 6.4 6.61 6.62 6.63 6.63 6.3 6.3 6.3 6.3 6.3 6.3 6.3	4.1	405 405 405 405 405 405 405 405 405 405	1 1 1 1 1 1 1 1 1 1 1 1 1 1 1 1 1 1 1	0 0 0 0 0 17976 0		•		:
Control palants	Questia di paluda	Faguras	Queen.		- :		0 0 244 0		2720	225	61	0,2		0,4	- :					-
terme rates	Fania	Faguras	Quercus	41			266	385	4918	416	es es	0,3	64	6,2	282628	17976	1,2	123	12,3	26,4
Graves rains	Questia rossa	Faguras	Querran			11			2720	349	ti	0,2	4.4	0,1	- 1					
Address of the second	Rebinise acacla	Fattacean	Rebinia			4			499	142	4,01	0,1	t)	6,81						
Address.	Salice blance	Safracese	Sela			14			7540	458	ti	0,4	u	0,1						
Antino mile	Falsa ones	Assertance	Sations			-			412	458 302 55 154	41	0,4 0,1 0,00	601	681						-
Audio arb	Sate motare	Roucese	Satus					4	2227	154	41	0,1	62	8,1						-
American de la companya de la compan	Seed of Seed o	Section	### APP ### AP		6	1			90	n	4,01	0,61	4.1	65 65 65 65 65 65 65 65 65 65 65 65 65 6					1	1
Physiothia Japanian	Sufuca del Giappone	Falleceae	Stylenistics			4			2606	599	es es	0,1	6,01 6,01 6,1	0,1	1 1 1 1 1 1 1 1 1 1 1 1 1 1 1 1 1 1 1		4			-
Remark ago.	Tamerica	Tamaricaceae	Tamaria		1 1 1 1 1 1 1 1 1 1		•		29	205 215 225 237 230 231 231 241 243 243 245 245 245 245 245 245 245 245 245 245	8,01	6.1 6.5 6.5 6.5 6.5 6.5 6.5 6.5 6.5 6.5 6.5	6,61	6,81		6 6 6 6 6 6 6 6 6 6 6 6 6 6 6 6 6 6 6		0 0 0 0 135 0		
	Ciprosa cate	Taxaceae	Tanadam		- :			- : -	2720	225	63	0,2	63	83	· :		:	•		- :
Allb evideb	Tiglio autodico	Titlaceae	Tile .	15		-	288	760	2606	599	61	0,1	0	8,1	242570	54995	8,6	9,6	9,6	28,5
	Tiglio secturo	Titlaceae	Tita .		2				2751	221	es es	0,6	63	0,1						
Alle Manaders	Tgio agostata	Tilacea	Tita .		3				2751	221	63 63	0,6	63 63 63	0,1						
Mirror and Co.	Tiglio surspeo	Titlecon	100		3	1	0		2227	221	65	0,2	6.1 6.2 6.3 6.3 6.3	6,81	1 1			•		
Con particle	Otto India	Umore	Diss.		2	- :			771	363	65	0,2	63	83	<u> </u>		:			- :
Mana pasalta	Oten sheriana	Umaceae Umaceae Umaceae	- Times					1	2720	225	63 63 63	6,2	u	8,1	· ·					
Allen aught Male	Zeboucopiebla	Umpose	Zalkova						2720	225	6.5	0,2	63	0,1						
Salara comite	Zelhova giaponese	Visuose	Zehou			1			2720	225	63	0,2	u	0,1						

on resonant normal parameter of the control of the

en menta ratmitimta 14 miliotaka ratmitimtaky at anatomiky, ten an



Autore Attività Gara Esecuzione vari SF/10/19

ACERO CAMPESTRE | Acer campestre



Dimensione



Altezza a maturità 7-10m



Classe di grandezza

Specie



Ambiente di provenienza



Pianura



Collina

Posizionamento preferenziale



Parchi e giardini



Viale alberato



Piazza, piazzale e aiuola



Mitigazione ambientale e rinaturalizzazione Fasce tampone, rinaturalizzazioni

Caratteri formali



Forma chioma





Densità chioma Densa



Epoca di fioritura Fine primavera



Caratteristiche fioritura

Non vistosa



Portamento Arboreo 1

Taglia chioma Media (10-15m)

Funzione ecologica



Potenziale CO₂ stoccata esemplare maturo



Abbattimento PM10 esemplare maturo (kg)

alto 499 Medio-basso basso

alto <0.05 Alto

Gestione e costi di manutenzione Poche esigenze di manutenzione: sopporta bene la potatura, se usato come alberatura stradale, dev'essere impostato in vivaio con una sufficiente altezza di impalcatura, in quanto tende a ramificare molto fin dalla base. Se non potata, inoltre, assume un portamento disordinato. Moderata tendenza a sporcare.



Costi di gestione

Bassi

Resistenza e resilienza



Tolleranza alla siccità Medio alta



Tolleranza alla salinità Medio alta



Tolleranza alla compattazione

Medio alta



Principali parassiti, patogeni e fitopatie

Funghi: Oidio; antracnosi; verticilliosi; cancro rameale dell'acero. Insetti: metcalfa.



Problematiche



Invasività Non invasiva



Allergeni Sì





Potenziale emissione VOCs

Bassa









Descrizione

Specie decidua, autoctona, ampiamente diffuso in boschi mesofili dal livello del mare fino al Fagetum.

Usi suggeriti

Pianta singola o in gruppo.
Parchi e giardini.
Alberatura stradale.
Piazze, piazzali ed aiuole.
Fasce tampone, rinaturalizzazioni.
Piccoli e medi spazi.
Buona adattabilità alle condizioni urbane.









- 1 Esemplare in contesto urbano
- 2 Foglia
- **3** Fiore
- 4 Frutto

BAGOLARO Celtis australis



Dimensione



Altezza a maturità 15-21m



Classe di grandezza

Specie



Ambiente di provenienza



Pianura



Collina

Posizionamento preferenziale



Parchi e giardini



Viale alberato

Densità



Piazza, piazzale e aiuola



Mitigazione ambientale e rinaturalizzazione Fasce tampone, rinaturalizzazioni

Caratteri formali



Forma chioma Arrotondata



chioma Moderatamente densa



Epoca di fioritura Fine primavera



Caratteristiche fioritura

Non vistosa



Colore foglie autunnali Giallognola



Portamento Arboreo



Taglia chioma Grande (15-25m)

Funzione ecologica



Potenziale CO, stoccata esemplare maturo

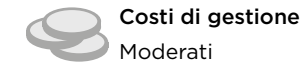


Abbattimento PM10 esemplare maturo (kg)

alto 3730 Alto

alto 0.1 Basso

Gestione e costi di manutenzione Moderate esigenze di manutenzione: specie poco in grado di compartimentare le carie, quindi eventuali infezioni si diffondono rapidamente. Ha radici superficiali che possono danneggiare marciapiedi e pavimentazioni e possono verificarsi cadute accidentali di rami e piccole branche. Moderata tendenza a sporcare: però gli uccelli che si nutrono dei frutti tendono a produrre molti escrementi.



Resistenza e resilienza



Tolleranza alla siccità Alta



Tolleranza alla salinità Alta



Tolleranza alla compattazione Alta



Principali parassiti, patogeni e fitopatie

Poco suscettibile a patogeni e parassiti. Fisiopatie: giallume fogliare del bagolaro.



Suscettibilità alle malattie

Bassa

Problematiche



Invasività Non invasiva



Allergeni





Potenziale emissione VOCs

Bassa









Descrizione

Specie decidua, autoctona, ampiamente diffusa in Europa meridionale e in Italia.

Usi suggeriti

Pianta singola o in gruppo.
Parchi e giardini.
Alberatura stradale.
Piazze, piazzali ed aiuole.
Fasce tampone, rinaturalizzazioni.
Grandi e medi spazi.
Alta adattabilità alle condizioni urbane.









- 1 Esemplare in contesto urbano
- 2 Foglia
- **3** Fiore
- 4 Frutto

ALBERO DI GIUDA | Cercis siliquastrum



Dimensione



Altezza a maturità 6-12m



Classe di grandezza

Specie



Ambiente di provenienza



Litorale



Pianura



Collina



Montagna

Posizionamento preferenziale



Parchi e giardini



Parcheggi

Densità



Piazza, piazzale e aiuola

Caratteri formali



Forma chioma Arrotondata



chioma Moderatamente densa



Epoca di fioritura Inizio primavera



Caratteristiche fioritura Rosa porpora

su legno, vistosa



Colore foglie autunnali Giallo



Portamento Arboreo

Taglia chioma Piccola (<10m)

Funzione ecologica



Potenziale CO, stoccata esemplare maturo



Abbattimento PM10 esemplare maturo (kg)

basso

alto <0.05 Alto

Gestione e costi di manutenzione

Basse esigenze di manutenzione. Poca tendenza a sporcare.



Costi di gestione

Bassi

Resistenza e resilienza



Tolleranza alla siccità Alta



Tolleranza alla salinità Alta



Tolleranza alla compattazione Bassa



Principali parassiti, patogeni e fitopatie

Poco suscettibile. Funghi: verticilliosi; cancri da nectria.



alle malattie Medio alta

Problematiche



Invasività Non invasiva



Allergeni









Specie decidua, autoctona, ampiamente diffusa nel bacino del Mediterraneo.

Usi suggeriti

Pianta singola o in gruppo.
Parchi e giardini.
Parcheggi.
Piazze, piazzali ed aiuole.
Piccoli e medi spazi.
Buona adattabilità alle condizioni urbane.









- 1 Esemplare in fiore
- 2 Foglia
- **3** Fiore
- 4 Frutto



Dimensione



Altezza a maturità 15-24m



Classe di grandezza

Specie



Ambiente di provenienza



Alloctona Esotica

Posizionamento preferenziale



Parchi e giardini



Viale alberato

Densità



Piazza, piazzale e aiuola

Caratteri formali



Forma chioma Piramidale da giovane. piramidale o espanso a maturità



chioma Moderatamente densa



di fioritura Inizio estate



Caratteristiche fioritura

Dioica, fiori femminili e maschili separati. Non vistosa



Colore foglie autunnali Vistose gialle



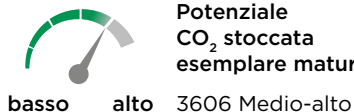
Portamento Arboreo



chioma Grande (15-25m)

Taglia

Funzione ecologica



Potenziale CO, stoccata esemplare maturo



Abbattimento PM10 esemplare maturo (kg)

basso

alto 0.1 Basso

Gestione e costi di manutenzione

Alta tendenza a sporcare negli esemplari femminili: tuttavia le piante femmina danno frutti che una volta rotti emanano un odore sgradevole e possono rendere scivolosi strade e marciapiedi.



Costi di gestione Moderati

Resistenza e resilienza



Tolleranza alla siccità Alta



Tolleranza alla salinità Media



Tolleranza alla compattazione Medio alta

Potenziali VOCs

Monoterpeni



Principali parassiti, patogeni e fitopatie Poco suscettibile



Suscettibilità alle malattie Medio alta

Problematiche



Invasività Non invasiva



Allergeni



Potenziale emissione VOCs Alta



Tossicità Cattivo odore frutti femminili









Specie decidua, esotica, originaria della Cina.

Usi suggeriti

Pianta singola ornamentale.
Parchi e giardini.
Alberatura stradale.
Piazze, piazzali ed aiuole.
Grandi e medi spazi.
Elevata adattabilità alle condizioni urbane.









- 1 Esemplare in contesto urbano
- **2** Esemplare in contesto urbano
- **3** Fiore
- 4 Frutto



Dimensione



Altezza a maturità 6-15m



Classe di grandezza

Specie



Ambiente di provenienza



Pianura



Collina



Alloctona Esotica

Posizionamento preferenziale



Parchi e giardini



Parcheggi

Densità



Piazza, piazzale e aiuola

Caratteri formali



Forma chioma Arrotondata



chioma Moderatamente densa



Epoca di fioritura Fine estate



Caratteristiche fioritura Non vistosa



Colore foglie autunnali Giallo

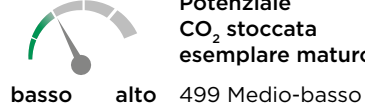


Portamento Arboreo



Taglia chioma Media (10-15m)

Funzione ecologica



Potenziale CO, stoccata esemplare maturo



Abbattimento PM10 esemplare maturo (kg)

basso

alto < 0.05 Alto

Gestione e costi di manutenzione

Basse esigenze di manutenzione: piante molto rustiche che tollerano bene condizioni difficili. Alta tendenza a sporcare, ad eccezione delle cv. sterili 'Hampton' e 'Platanifolia': la presenza dei frutti rende l'uso di queste piante limitato perché soprattutto in estate possono rendere le strade e i marciapiedi scivolosi e attrarre insetti.



Costi di gestione

Bassi

Resistenza e resilienza



Tolleranza alla siccità Medio alta



Tolleranza alla salinità Medio alta



Tolleranza alla compattazione Bassa



Principali parassiti, patogeni e fitopatie Funghi: marciume radicale da Armillaria; verticilliosi. Insetti: cocciniglie.



Suscettibilità alle malattie Medio alta

Problematiche

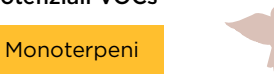


Invasività Non invasiva



Allergeni

Potenziali VOCs





Potenziale emissione VOCs Media









Genere deciduo, esotico, originario della Cina. In Italia, è naturalizzato in Lombardia, Piemonte, Emilia e Friuli.

Usi suggeriti

Pianta singola o in gruppo.
Parchi e giardini.
Parcheggi.
Piazze, piazzali ed aiuole.
Piccoli e medi spazi.
Buona adattabilità alle condizioni urbane.









- 1 Esemplare
- 2 Foglia
- **3** Frutto
- 4 Esemplari in filare

CARPINO NERO | Ostrva carpinifolia



Dimensione



Altezza a maturità 8-12m



Classe di grandezza

Specie



Ambiente di provenienza



Collina



Montagna

Posizionamento preferenziale



Parchi e giardini



Viale alberato

Densità



Piazza, piazzale e aiuola



Mitigazione ambientale e rinaturalizzazione Adatto per rimboschimenti, cortine verdi, alte siepi

Caratteri formali



Forma chioma Ovale



chioma Moderatamente densa



Epoca di fioritura Fine estate



Caratteristiche fioritura Non vistosa



Colore foglie autunnali Giallognola

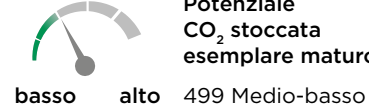


Portamento Arboreo



Taglia chioma Grande (15-25m)

Funzione ecologica



Potenziale CO, stoccata esemplare maturo



Abbattimento PM10 esemplare maturo (kg)

basso

alto < 0.05 Alto

Gestione e costi di manutenzione Alta allergenicità. Basse esigenze di manutenzione: tollera bene terreni calcarei e suoli asciutti, sopporta molto bene qualsiasi potatura, resiste molto bene nelle zone industriali con atmosfera inquinata e presenta un'ottima resistenza ai parassiti. Media tendenza a sporcare.



Costi di gestione

Bassi

Resistenza e resilienza



Tolleranza alla siccità Medio alta



Tolleranza alla salinità Bassa



Tolleranza alla compattazione Molto bassa



Principali parassiti, patogeni e fitopatie Funghi: cancri rameali; carie del legno; septoriosi. Insetti: afidi: Malacosoma.



Problematiche



Invasività Non invasiva



Allergeni









Specie decidua, autoctona, ampiamente diffusa in Europa centro meridionale e presente, in Italia, in tutte le regioni eccetto la Valle d'Aosta, fino a 1000 m di quota.

Usi suggeriti

Pianta singola o in gruppo.

Parchi e giardini.

Alberatura stradale.

Piazze, piazzali ed aiuole.

Adatto per rimboschimenti, cortine verdi, alte siepi.

Grandi e medi spazi.

Buona adattabilità alle condizioni urbane.









- 1 Esemplare Opera propria, Pubblico dominio, Wikimedia Commons
- **2** Foglie
- Fiore
 © https://unalberoalgiorno.blog/
- Dettaglio fiore
 © https://unalberoalgiorno.blog/



Dimensione



Altezza a maturità 20-25m



Classe di grandezza

Specie



Ambiente di provenienza



Pianura

Posizionamento preferenziale



Parchi e giardini



Viale alberato

Densità



Piazza, piazzale e aiuola



Mitigazione ambientale e rinaturalizzazione Siepi e barriere, rinaturalizzazioni

Caratteri formali



Forma chioma



Arrotondata o espansa



chioma Moderatamente densa



Epoca di fioritura Fine primavera



Caratteristiche fioritura Non vistosa





Portamento Arboreo

Funzione ecologica



Potenziale CO, stoccata esemplare maturo



Abbattimento PM10 esemplare maturo (kg)

basso

alto 0.2 Medio-basso

Gestione e costi di manutenzione Media allergenicità. Moderate esigenze di manutenzione: Necessita di spazio per svilupparsi. Elevata tendenza a sporcare: le ghiande, nella annate di carica produttiva, possono creare disagi.



Costi di gestione

Moderati

Resistenza e resilienza



Tolleranza alla siccità Medio alta



Tolleranza alla salinità Medio alta



Tolleranza alla compattazione Media



Principali parassiti, patogeni e fitopatie

Funghi: carie del legno; oidio; antracnosi. Insetti: tortricidi della quercia; processionaria della quercia; limantria; bombice; cerambicide delle querce; cinipidi galligeni.



Problematiche



Invasività Non invasiva



Allergeni





Potenziale emissione VOCs Alta+media









Specie decidua, autoctona, ampiamente diffusa in Europa e in Italia, ad eccezione di Sicilia e Sardegna, fino a 800 m di quota.

Usi suggeriti

Pianta singola o in gruppo.
Parchi e giardini.
Alberatura stradale.
Piazze, piazzali ed aiuole.
Rinaturalizzazioni.
Siepi e barriere.
Grandi e medi spazi.
Alta adattabilità alle condizioni urbane.









- 1 Esemplare
- 2 Foglia
- Frutto
 © https://unalberoalgiorno.blog/
- 4 Foglia in autunno

TIGLIO SELVATICO | Tilia cordata



Dimensione



Altezza a maturità 18-21m



Classe di grandezza

Specie



Ambiente di provenienza



Pianura



Collina



Montagna

Posizionamento preferenziale



Parchi

e giardini



Viale alberato



Piazza, piazzale e aiuola



Mitigazione ambientale e rinaturalizzazione Rinaturalizzazioni

Caratteri formali



Forma chioma

Ovale o piramidale (cv. Greenspire)



Densità chioma Moderatamente

densa



Epoca di fioritura Inizio estate



Caratteristiche fioritura Non vistosa

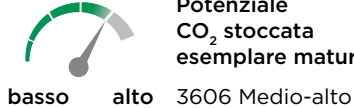


Colore foglie autunnali Gialla



Portamento Arboreo

Funzione ecologica



Potenziale CO, stoccata esemplare maturo



Abbattimento PM10 esemplare maturo (kg)

alto 0.1 Basso

Gestione e costi di manutenzione Media allergenicità. Basse esigenze di manutenzione: pianta resistente all'inquinamento atmosferico, al freddo e alle potature. Alta tendenza a sporcare: imbrattamento da melata.



Costi di gestione

Bassi

Resistenza e resilienza



Tolleranza alla siccità Media



Tolleranza alla salinità Bassa



Tolleranza alla compattazione Medio alta



Principali parassiti, patogeni e fitopatie

Funghi: Armillaria; carie del legno; cancri rameali; cercosporiosi. Insetti: afidi; limantria; ifantria. Acari: ragnetto giallo.



Problematiche



Invasività Non invasiva



Allergeni





Potenziale emissione VOCs Bassa



Tossicità Melata

316









Specie decidua, autoctona, in Italia diffusa prevalentemente al centro nord, ma presente anche in Campania, Basilicata e Calabria, fino a 1400 m di quota. Necessita terreno drenato.

Usi suggeriti

Pianta singola o in gruppo.
Parchi e giardini.
Alberatura stradale.
Piazze, piazzali ed aiuole.
Rinaturalizzazioni.
Grandi e medi spazi.
Buona adattabilità alle condizioni urbane.









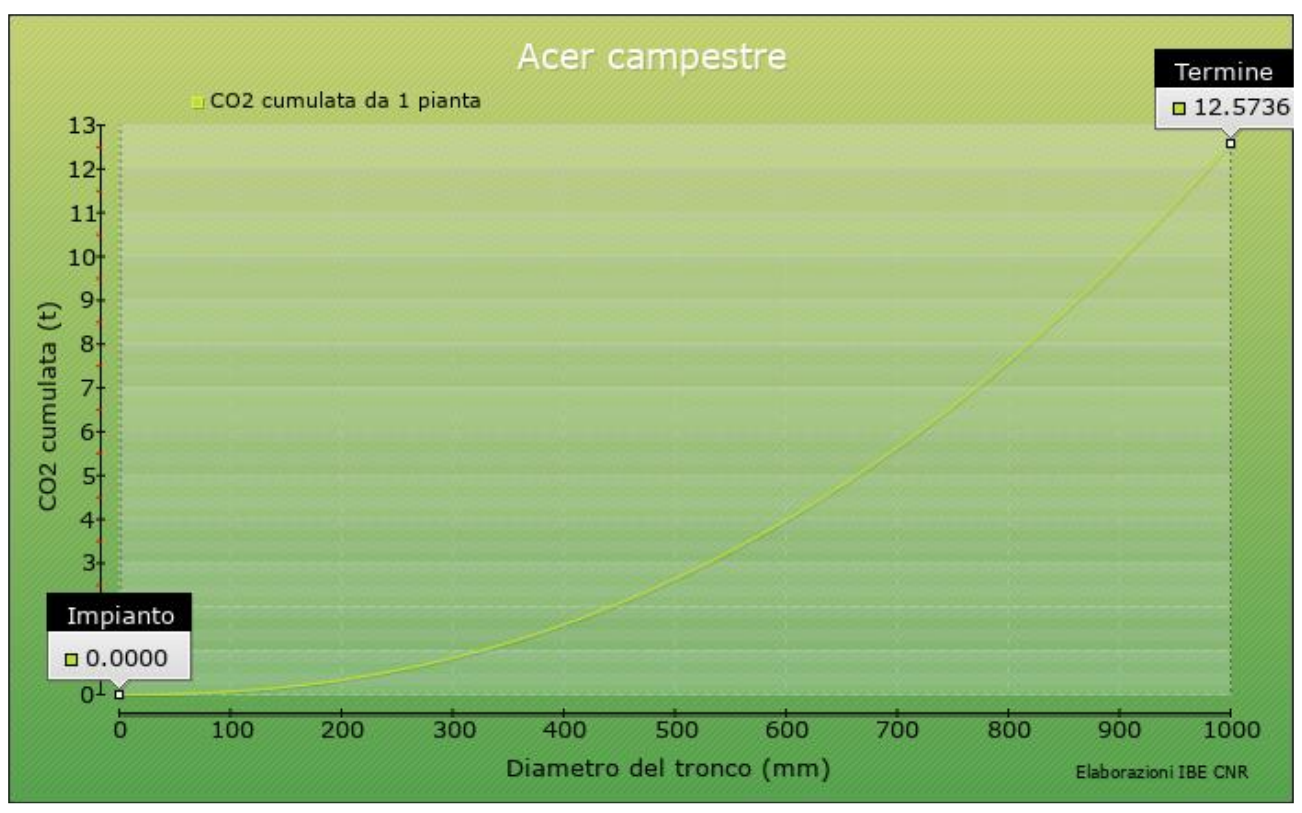
- 1 Esemplare in contesto urbano
- 2 Foglia
- **3** Frutto
- Frutto
 Hans, Pixabay

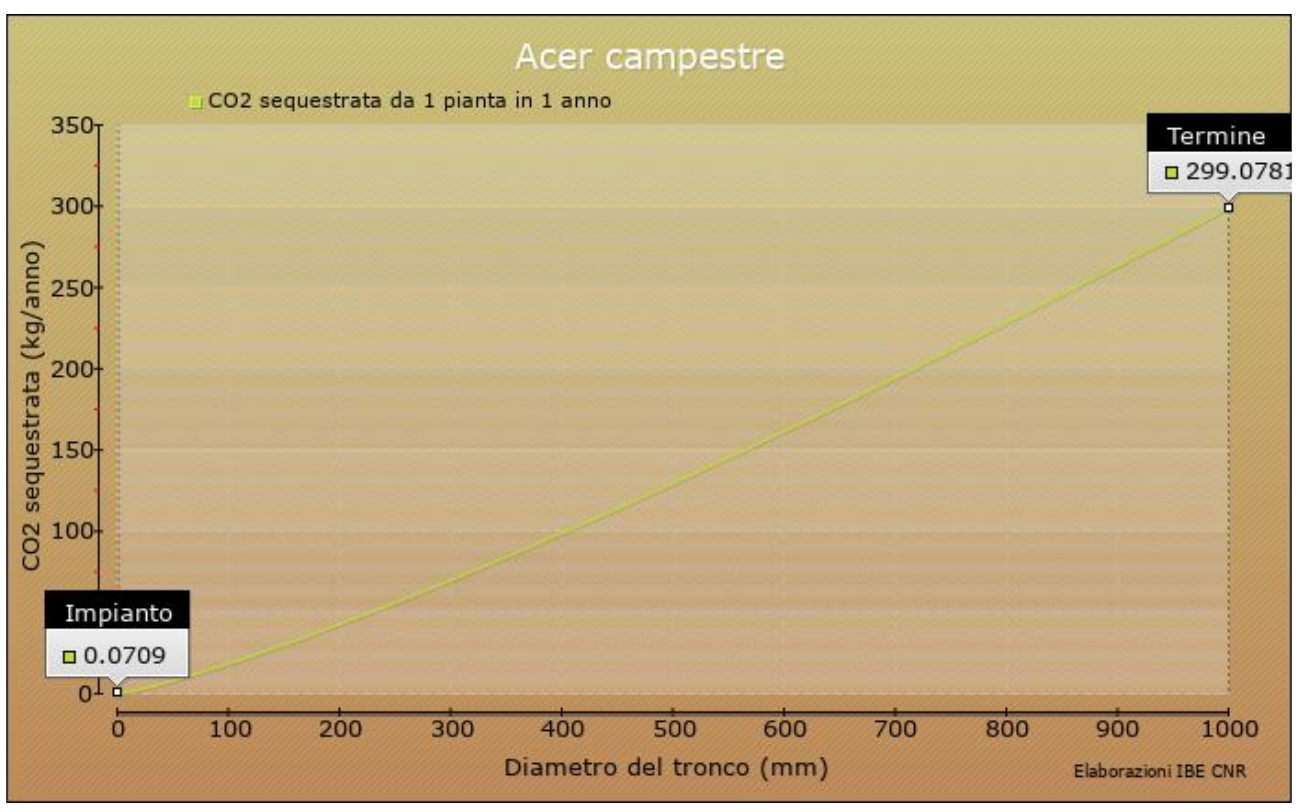


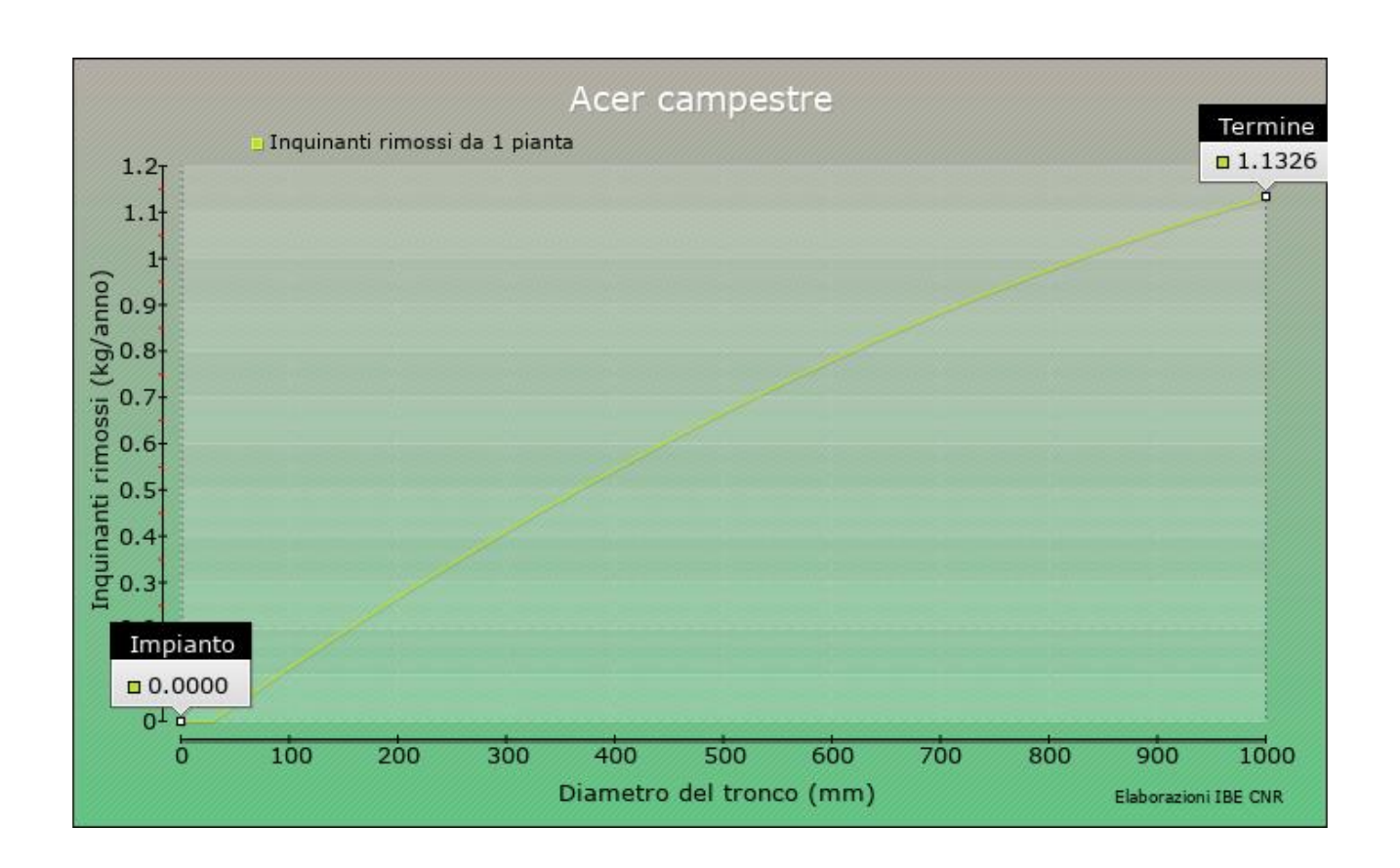
Autore Attività Gara Esecuzione vari SF/10/19

7.1 Acer campestre

Modello calcolato per la specie **Acer campestre** con parametrizzazione basata su dati ambientali ricavati sul territorio di Bologna. Il modello si riferisce a **107** piante, incentrato sul raggiungimento di un diametro di 1000mm.

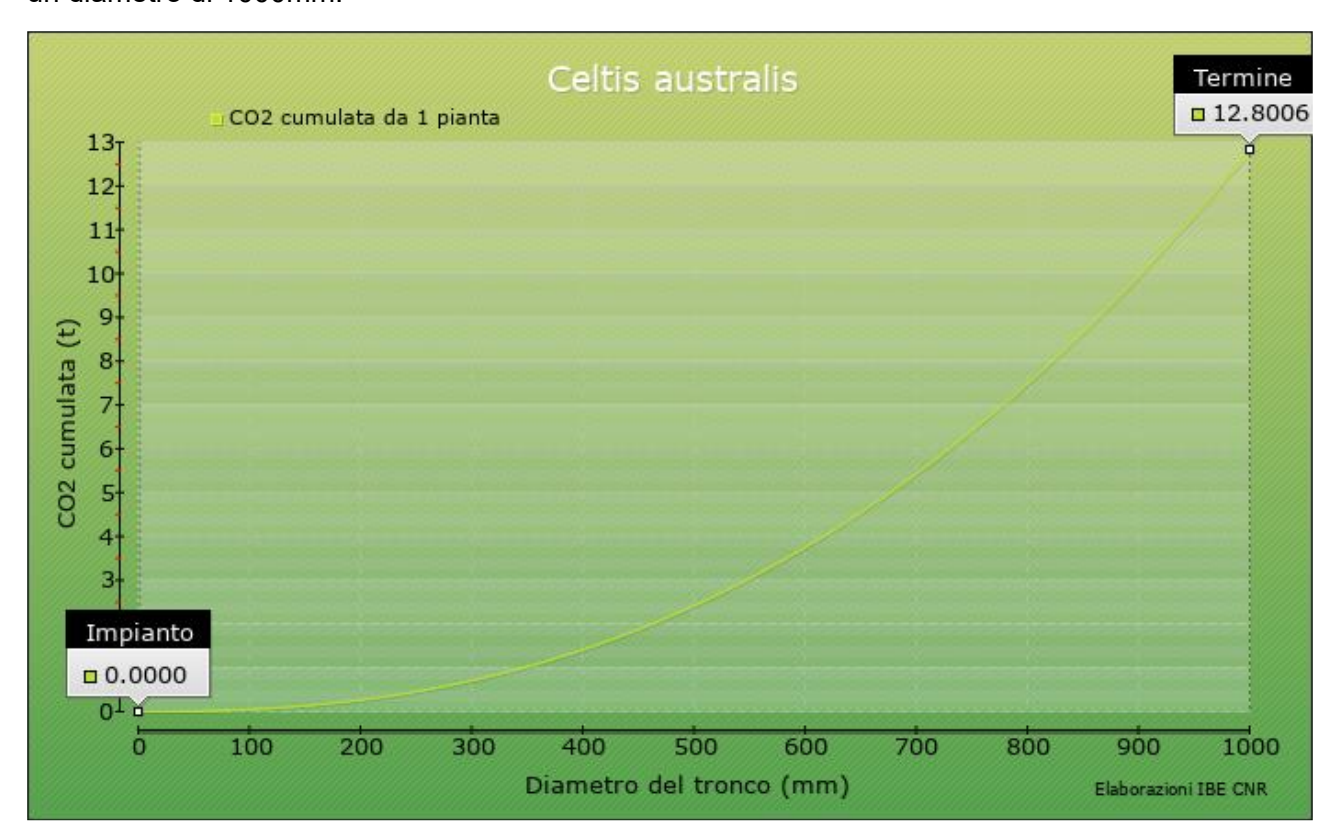


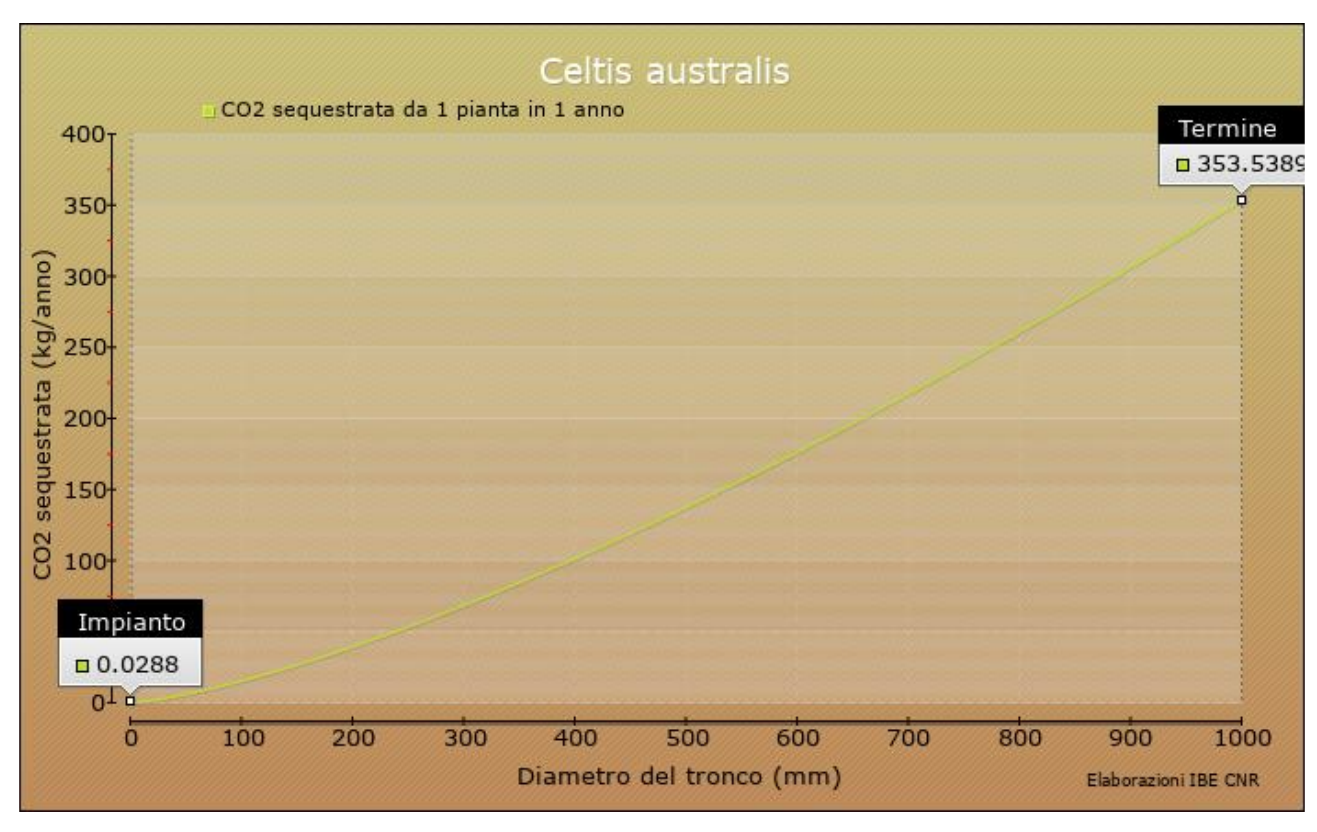


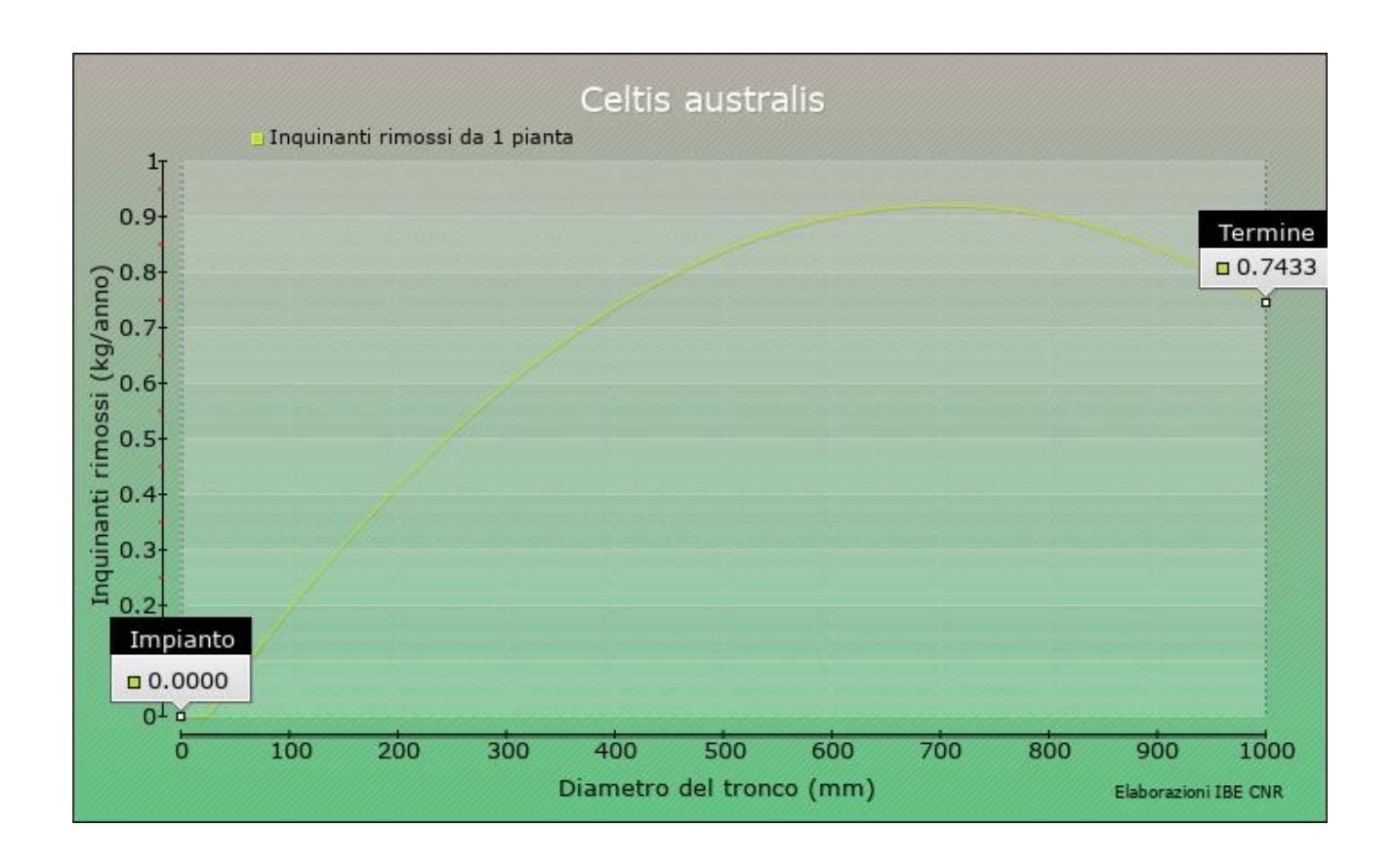


7.2 Celtis australis

Modello calcolato per la specie **Celtis australis** con parametrizzazione basata su dati ambientali ricavati sul territorio di Bologna. Il modello si riferisce a **54** piante, incentrato sul raggiungimento di un diametro di 1000mm.

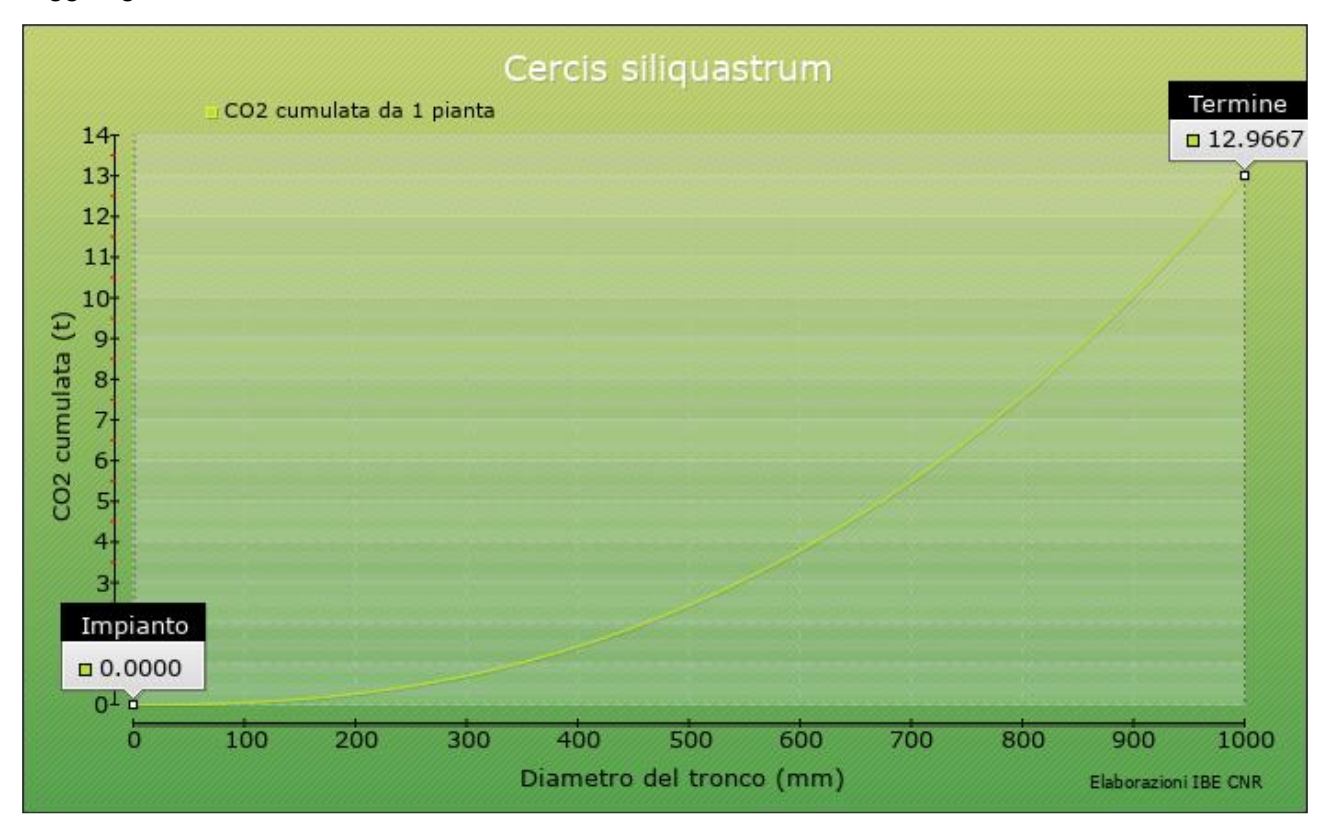


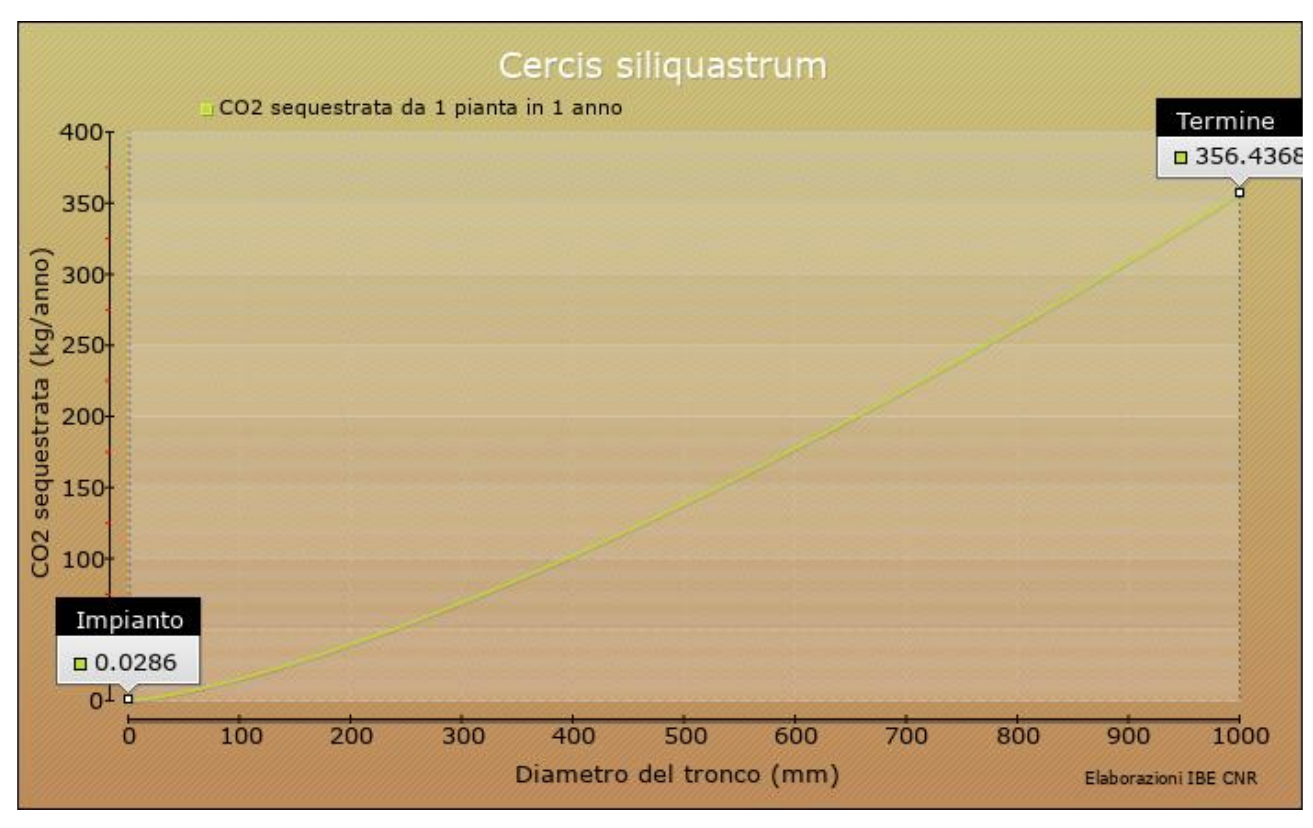


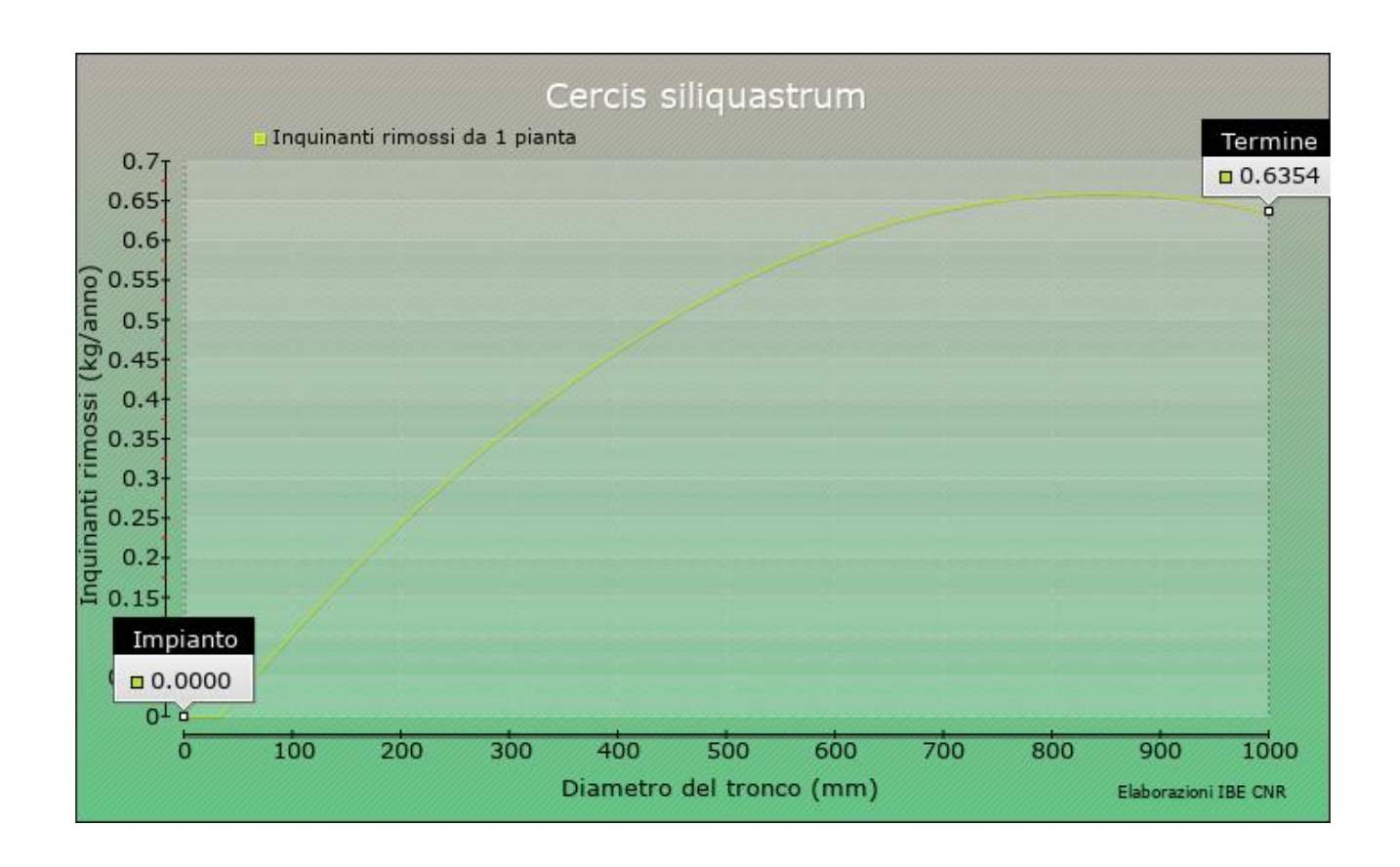


7.3 Cercis siliquastrum

Modello calcolato per la specie **Cercis siliquastrum** con parametrizzazione basata su dati ambientali ricavati sul territorio di Bologna. Il modello si riferisce a **130** piante, incentrato sul raggiungimento di un diametro di 1000mm.

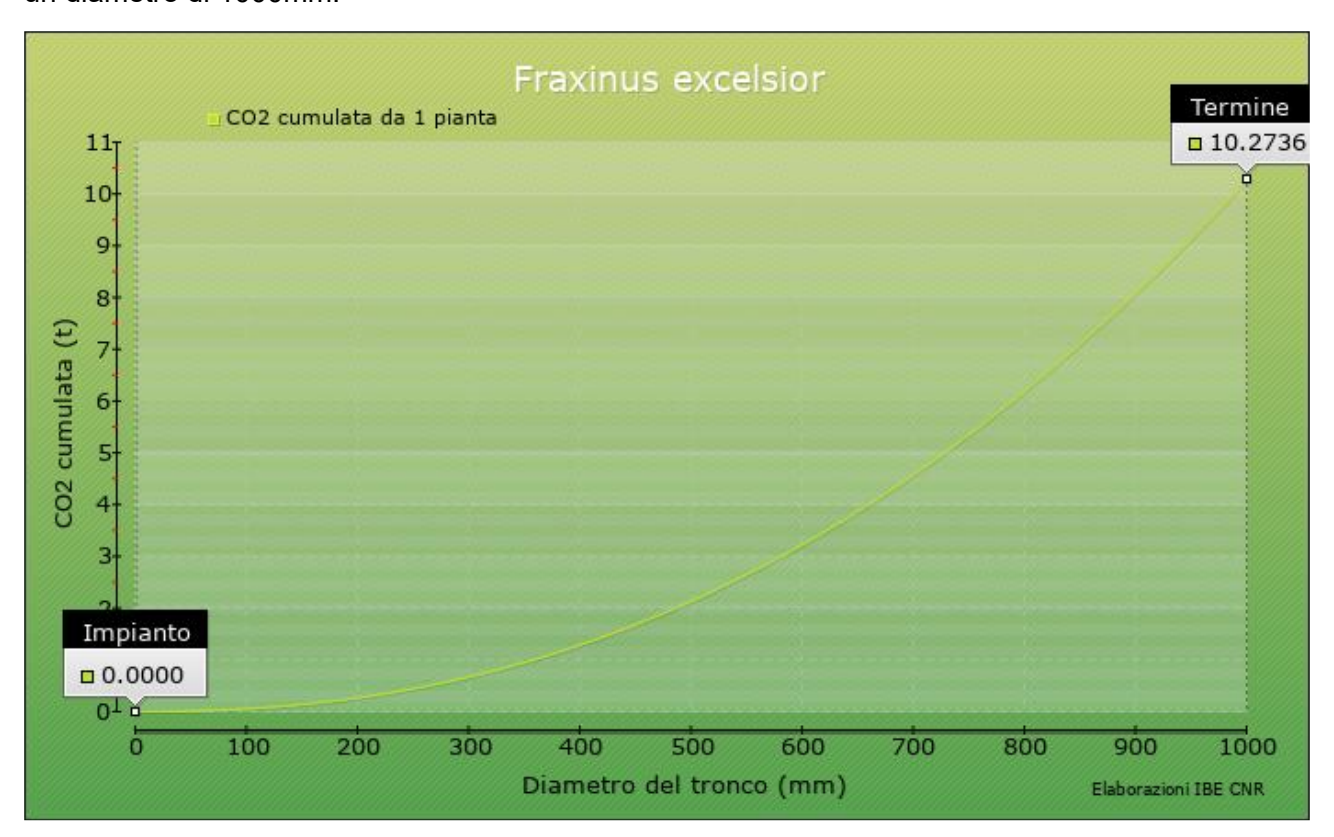


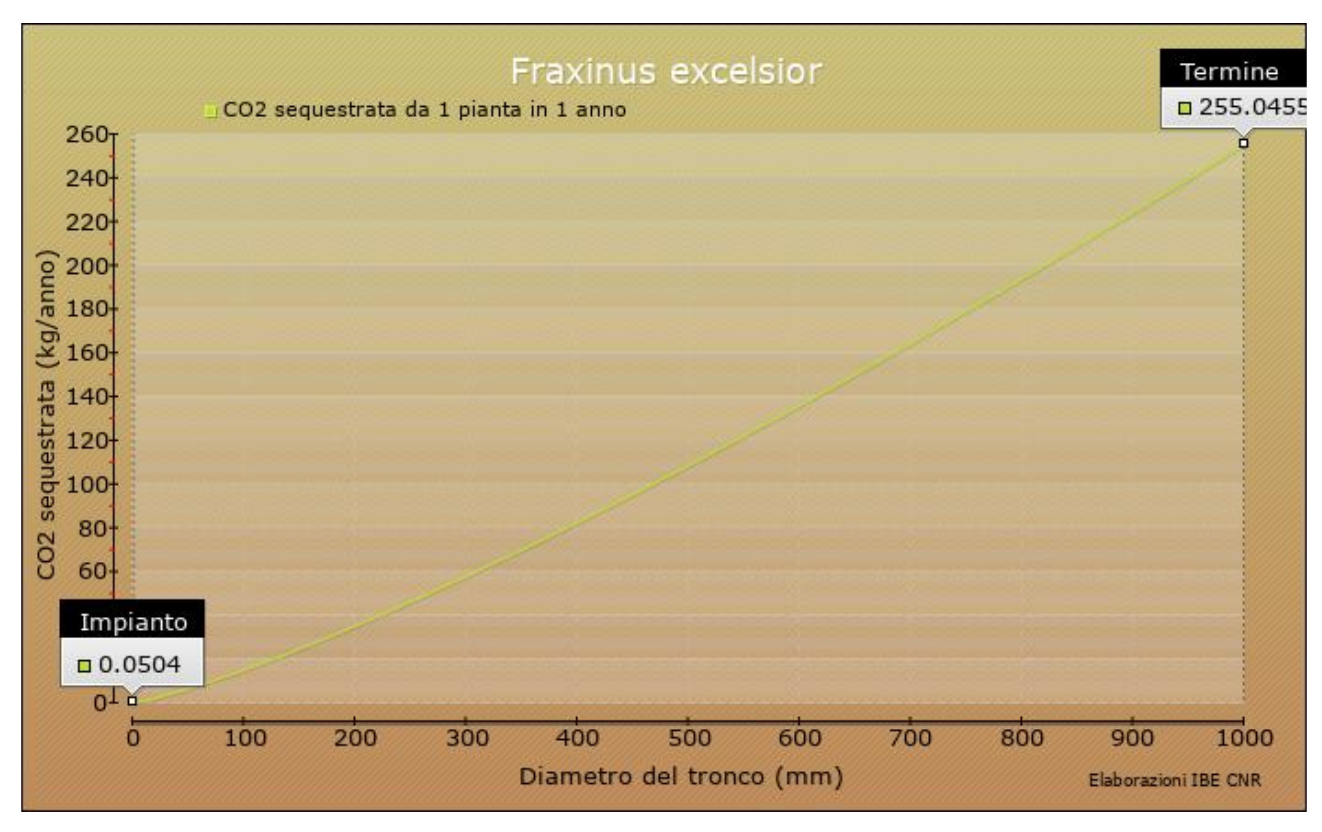


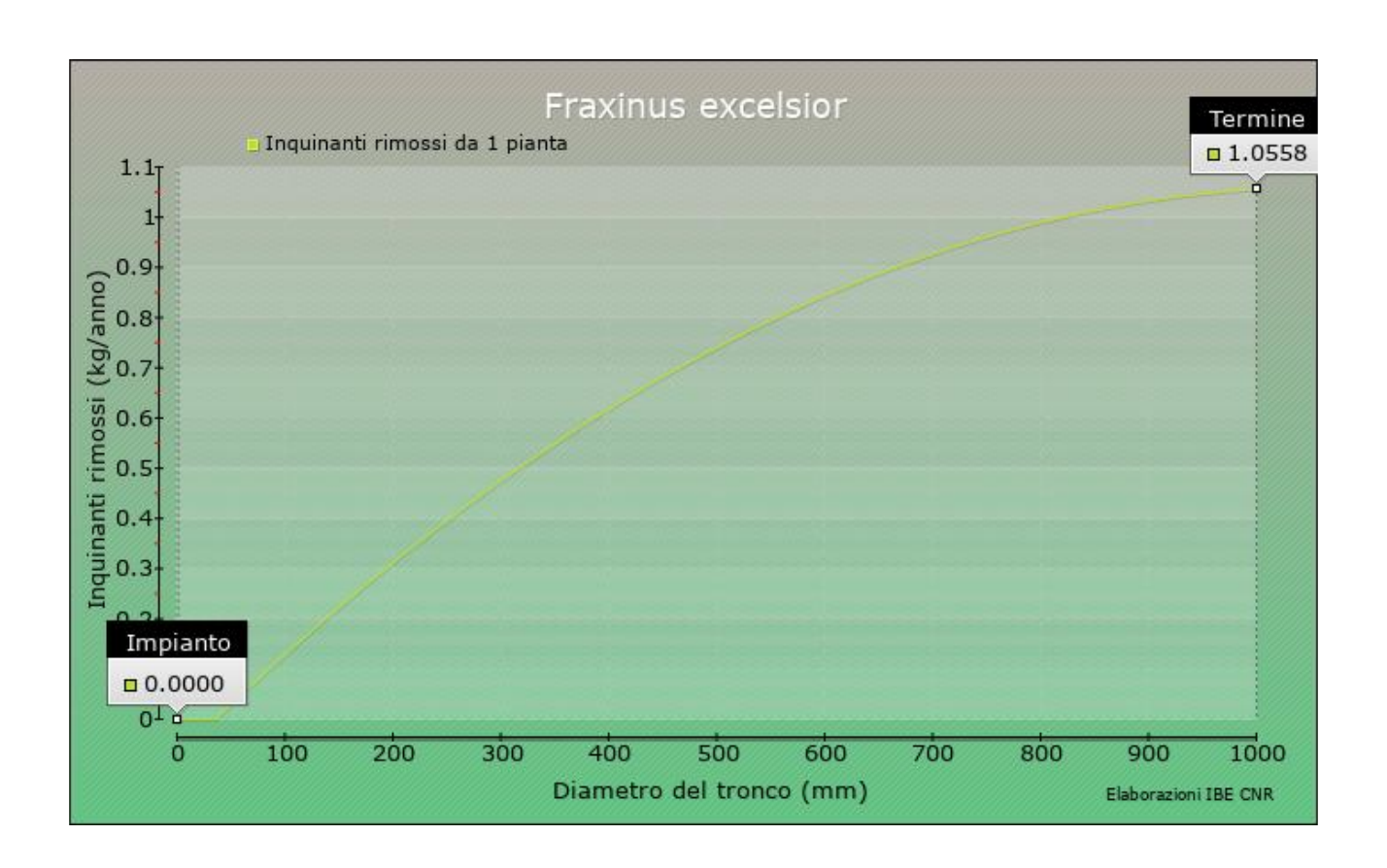


7.4 Fraxinus excelsior

Modello calcolato per la specie **Fraxinus excelsior** con parametrizzazione basata su dati ambientali ricavati sul territorio di Bologna. Il modello si riferisce a **33** piante, incentrato sul raggiungimento di un diametro di 1000mm.



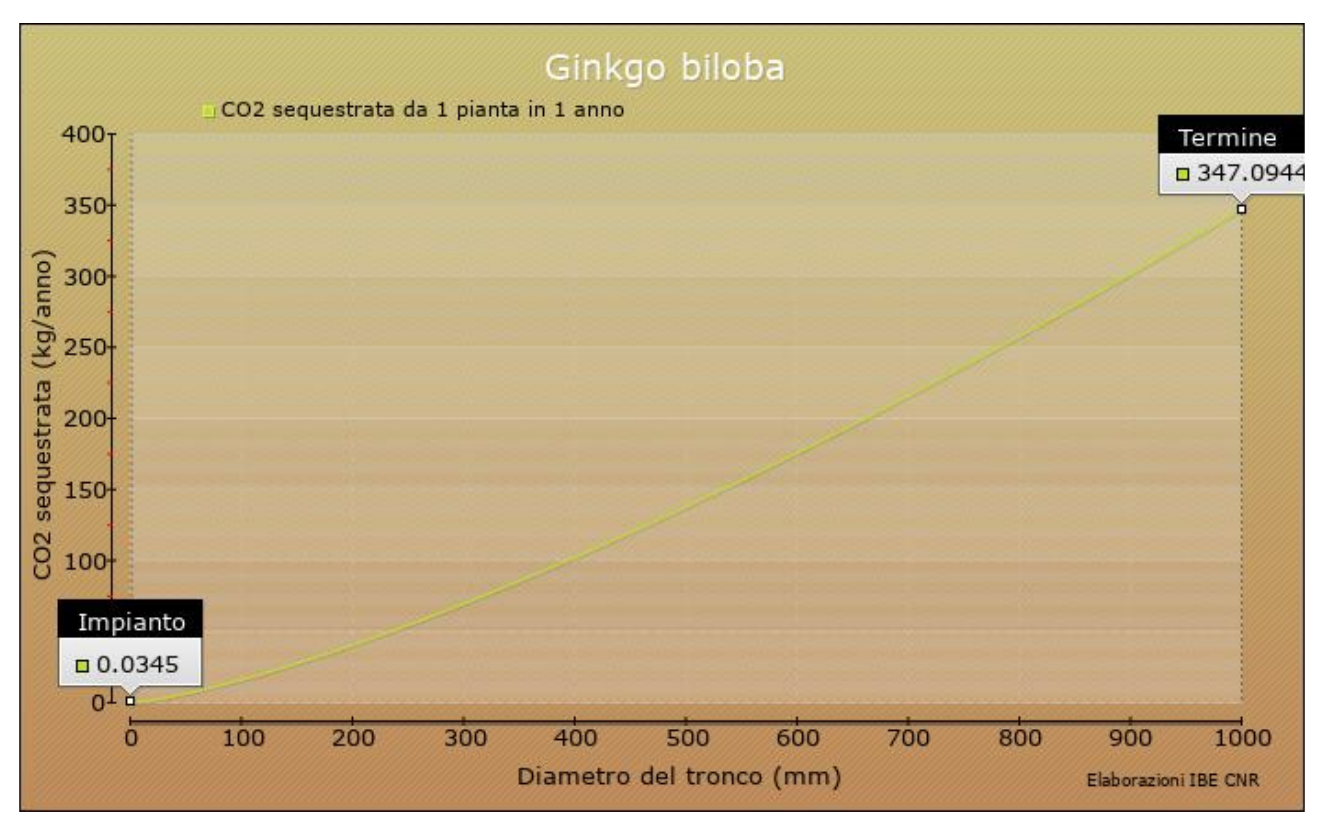




7.5 Ginkgo biloba

Modello calcolato per la specie **Ginkgo biloba** con parametrizzazione basata su dati ambientali ricavati sul territorio di Bologna. Il modello si riferisce a **16** piante, incentrato sul raggiungimento di un diametro di 1000mm.



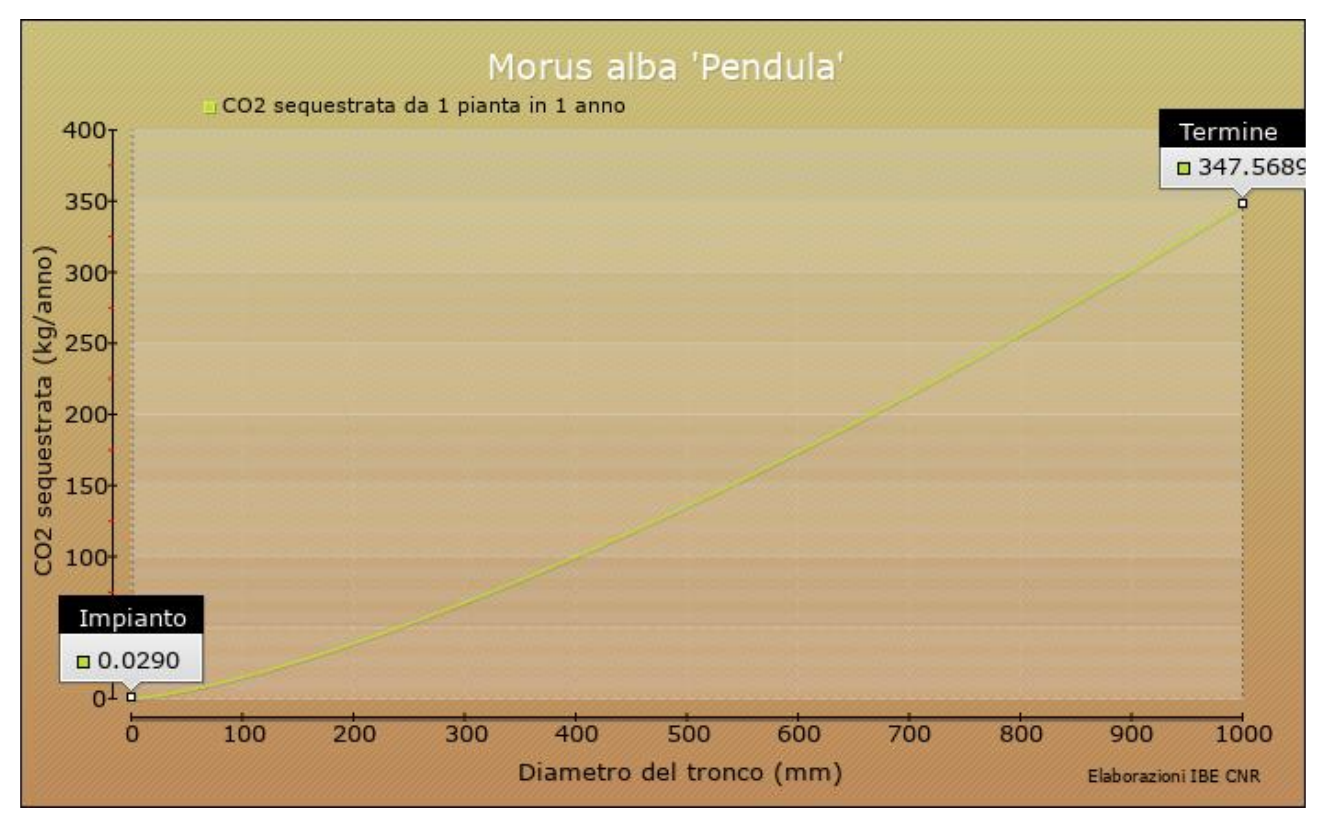


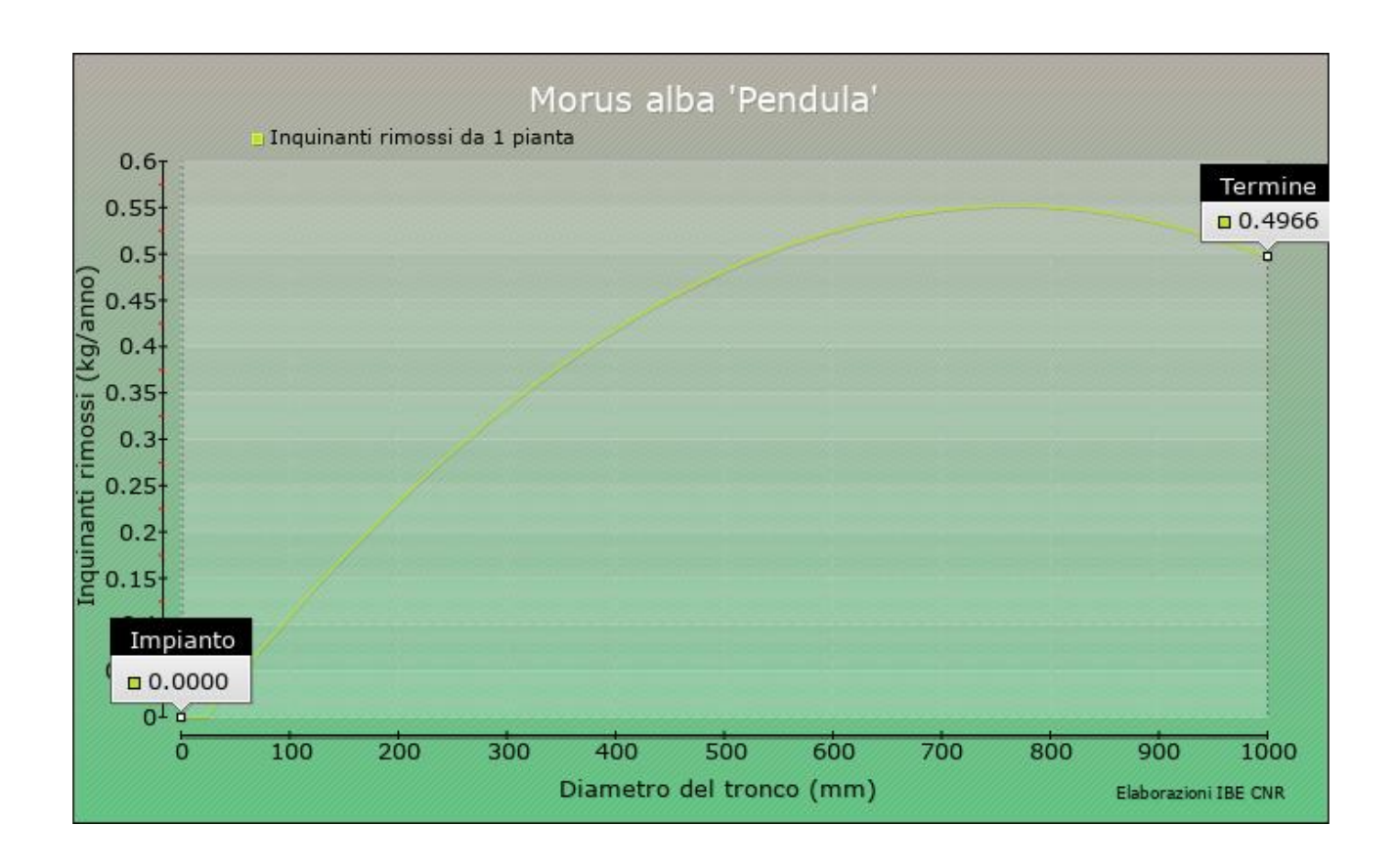


7.6 Morus alba 'Pendula'

Modello calcolato per la specie **Morus alba 'Pendula'** con parametrizzazione basata su dati ambientali ricavati sul territorio di Bologna. Il modello si riferisce a **94** piante, incentrato sul raggiungimento di un diametro di 1000mm.

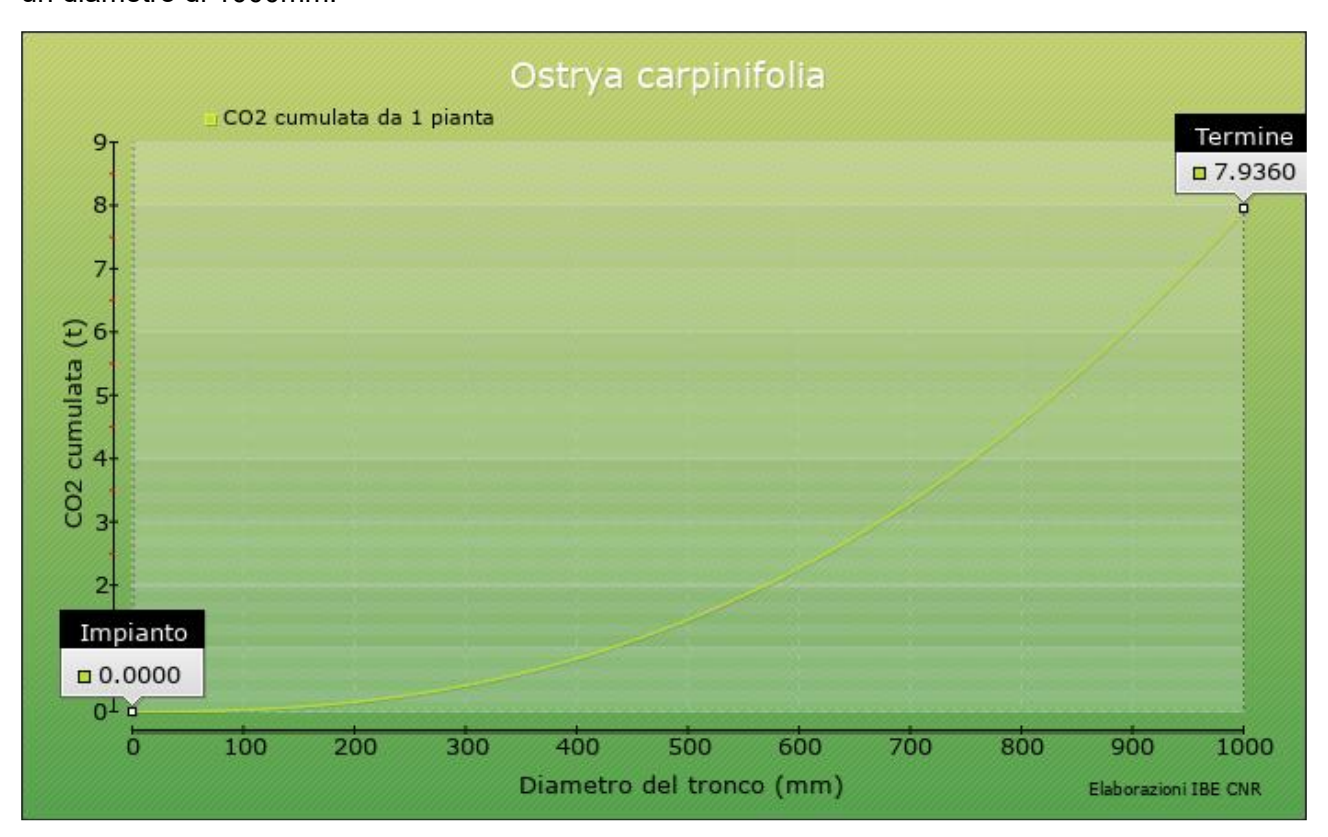


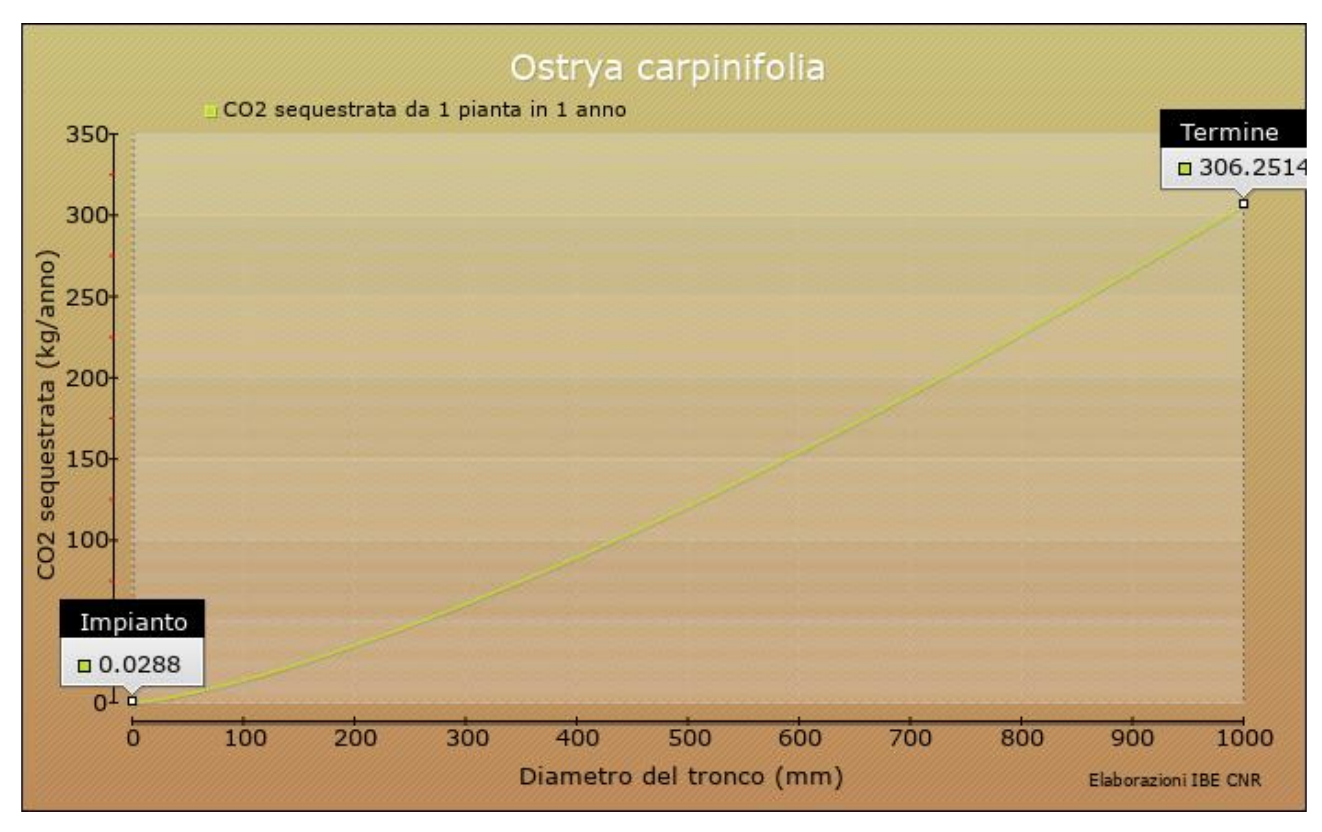


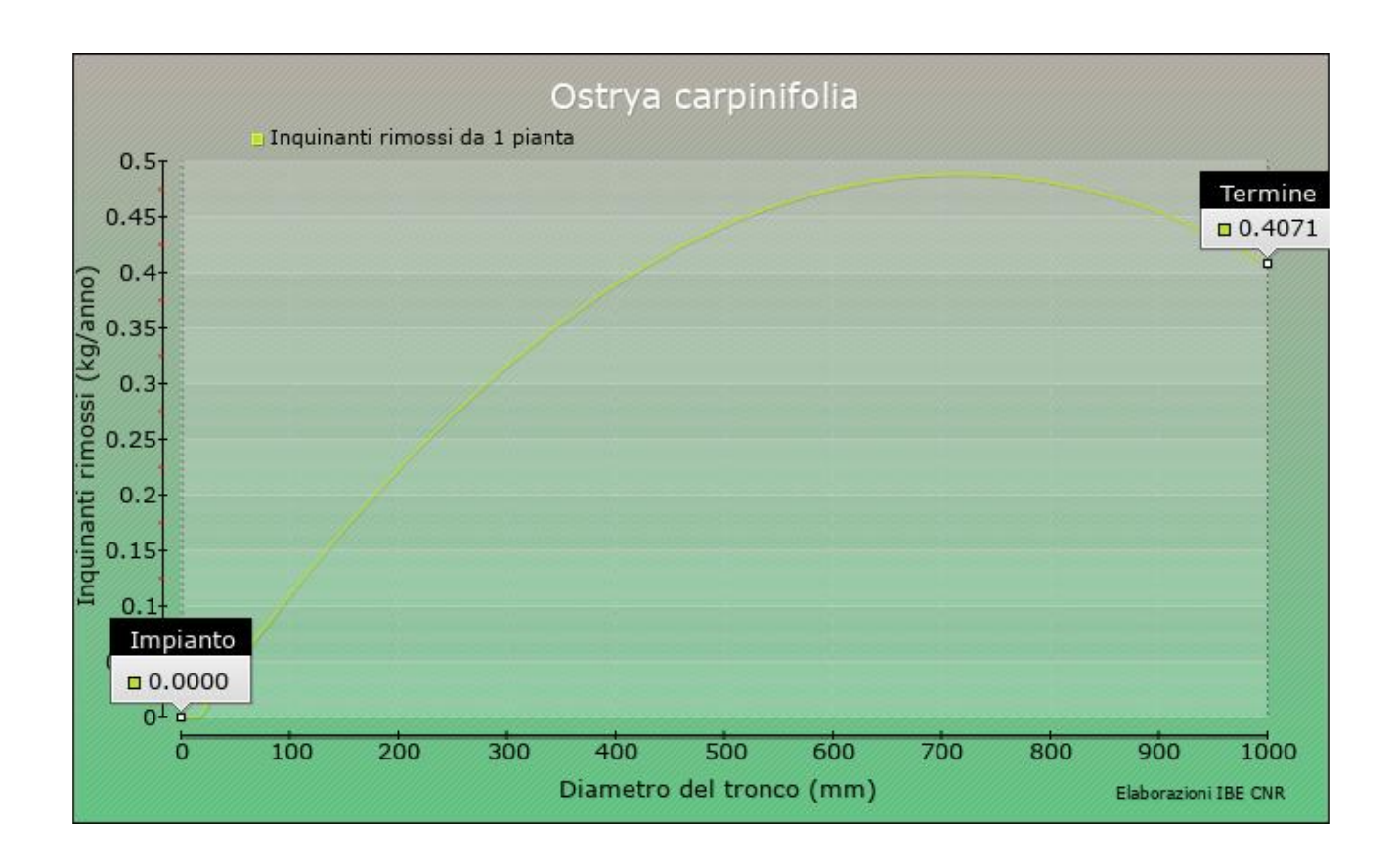


7.7 Ostrya carpinifolia

Modello calcolato per la specie **Ostrya carpinifolia** con parametrizzazione basata su dati ambientali ricavati sul territorio di Bologna. Il modello si riferisce a **116** piante, incentrato sul raggiungimento di un diametro di 1000mm.

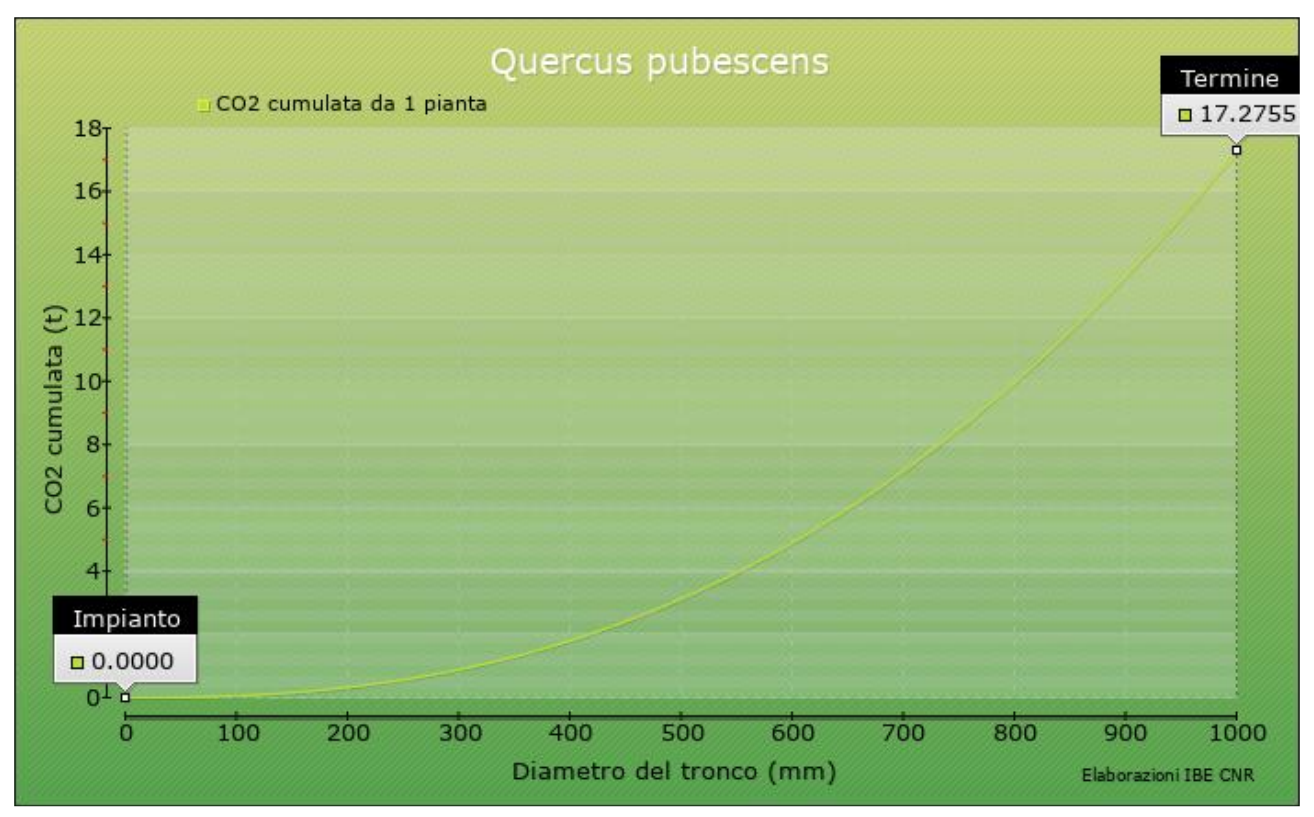


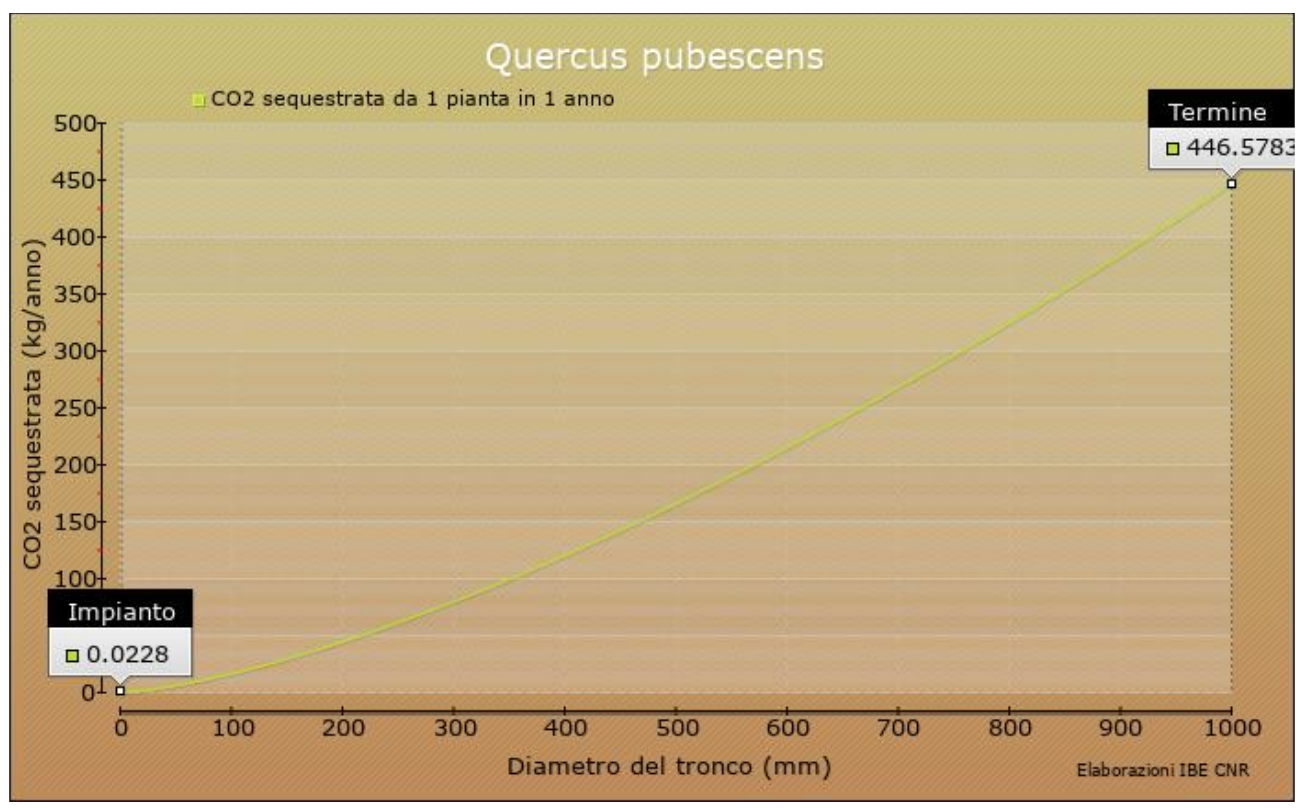


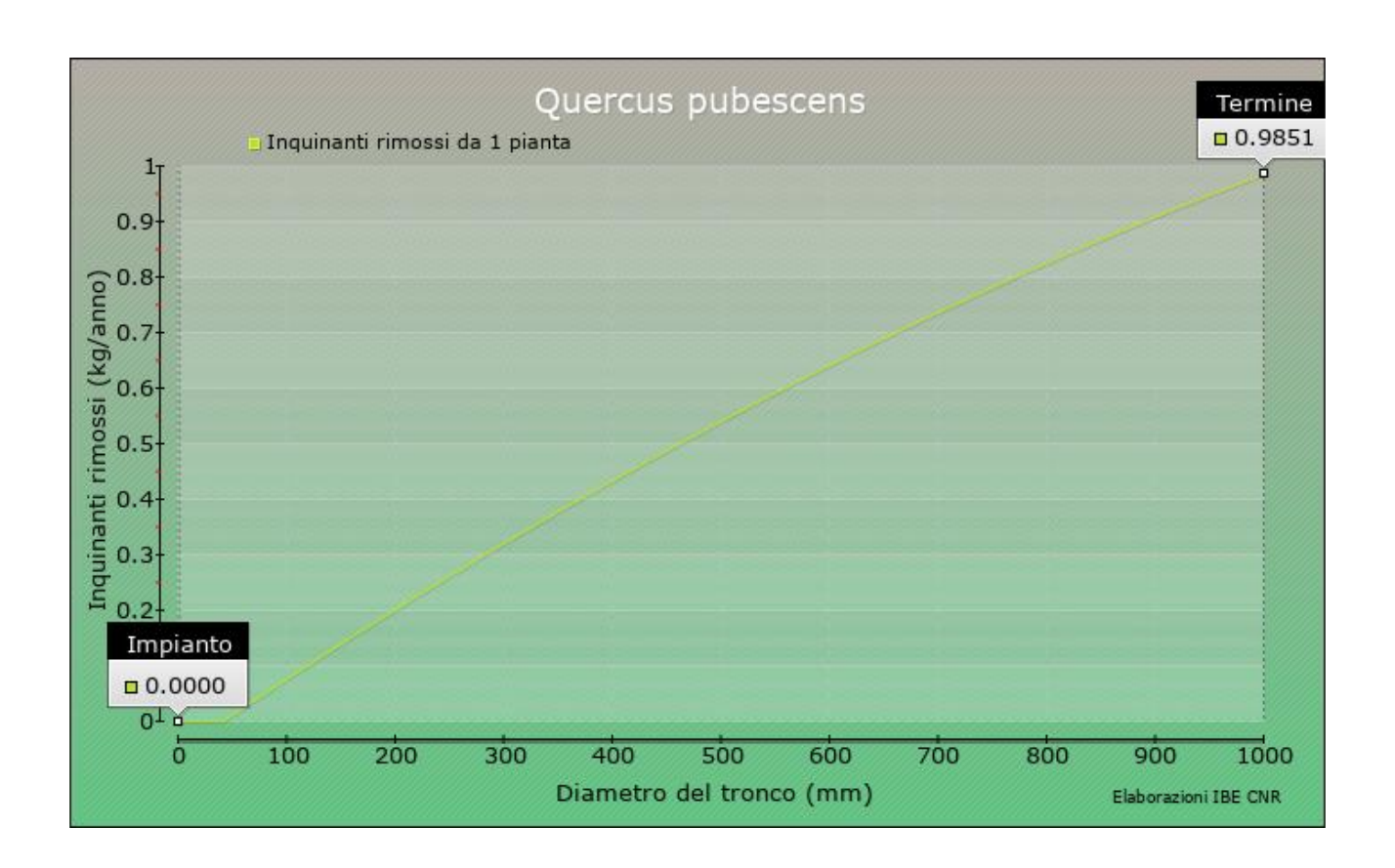


7.8 Quercus pubescens

Modello calcolato per la specie **Quercus pubescens** con parametrizzazione basata su dati ambientali ricavati sul territorio di Bologna. Il modello si riferisce a **41** piante, incentrato sul raggiungimento di un diametro di 1000mm.







7.9 Tilia cordata

Modello calcolato per la specie **Tilia cordata** con parametrizzazione basata su dati ambientali ricavati sul territorio di Bologna. Il modello si riferisce a **95** piante, incentrato sul raggiungimento di un diametro di 1000mm.



